超低頻電磁波技術應用在礦物探勘上

台大地理環境資源系 朱子豪教授編輯 2019/05/31

大綱

- 一.地勘理論
- 二.地勘技術應用
- 三.礦產探勘的程序
- 四.礦產探勘的實務案例
- 五.新探勘儀器的研發進度
- 六.結論

一、地勘理論

超低頻電磁波探勘原理---遵循大地截頻定律,遵守電磁場的能量衰減模式

► 以截頻方式截取由地下反射上來的某一頻段的電磁波 解算的是截止頻率與能量的換算關係(E= /\nu)

$$V_{fh-fl} = \frac{h \cdot \gamma(\lambda, T, \rho) \cdot m_i}{q} \int_{fl}^{fh} F(f) df$$

不同深度會反射與輻射特定頻段電磁波

電位差、反射係數、視電阻率等參數代表著某一深度的地下物性綜合結果

可由視電阻率→轉換→相對地應力:用以描繪物體應力應變分佈的分佈情形(光彈效應)。光彈性法對於描繪複雜幾何結構以及複雜載荷下的物體的應力應變尤其有效,即使對於(地質體)材料的斷裂處如落盤、隧道變形等現地測量(in situ)也能夠評估相對準確的應力分佈圖像。

$$f_0 = \frac{\mathbf{K} \cdot \overline{\mathbf{p}}}{(\mathbf{H} + \mathbf{A})^2}$$

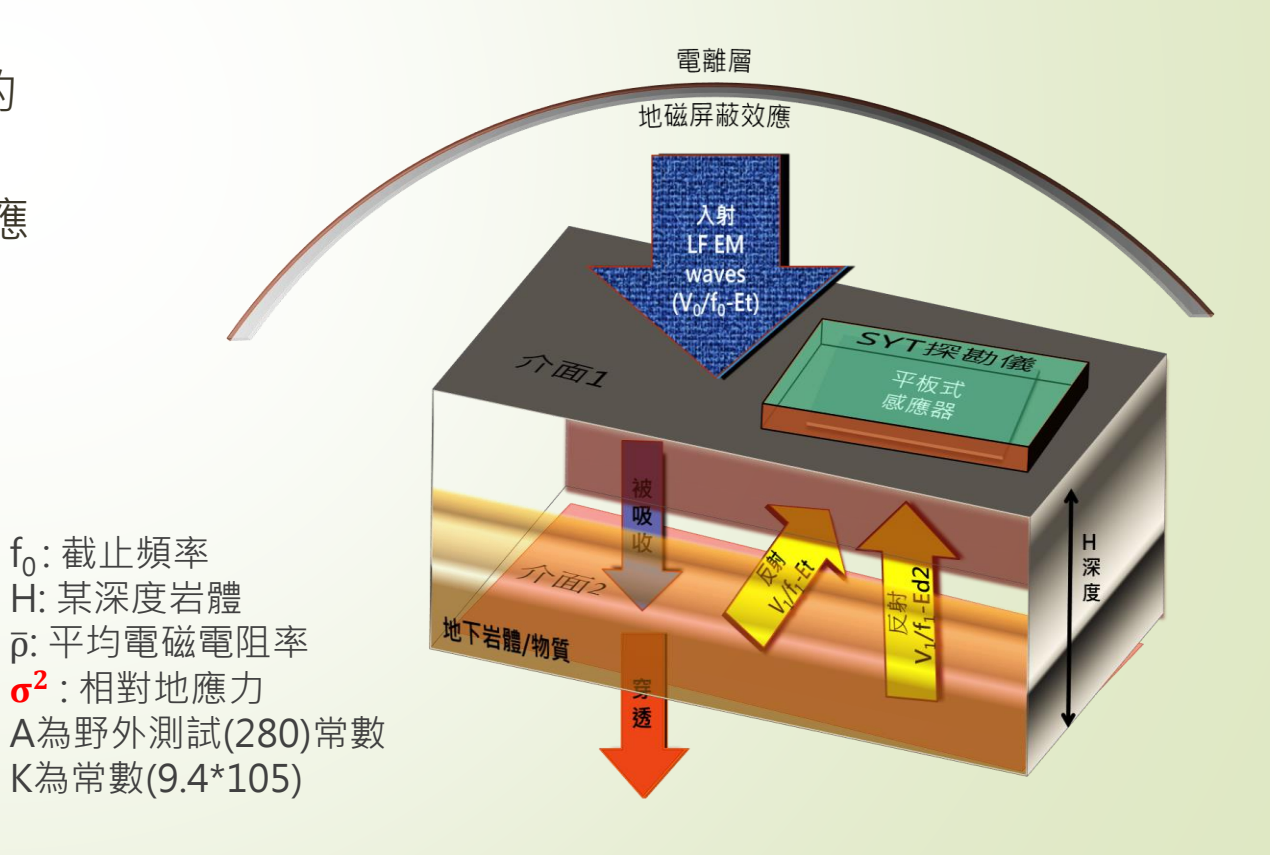
(視電阻率)

$$V_{fi} = \mathbf{n} \cdot \frac{\left(\lambda, T, \rho\right) \cdot \mathbf{\sigma^2} \cdot \overline{\rho}^2}{(\mathbf{H} + \mathbf{A})^4}$$

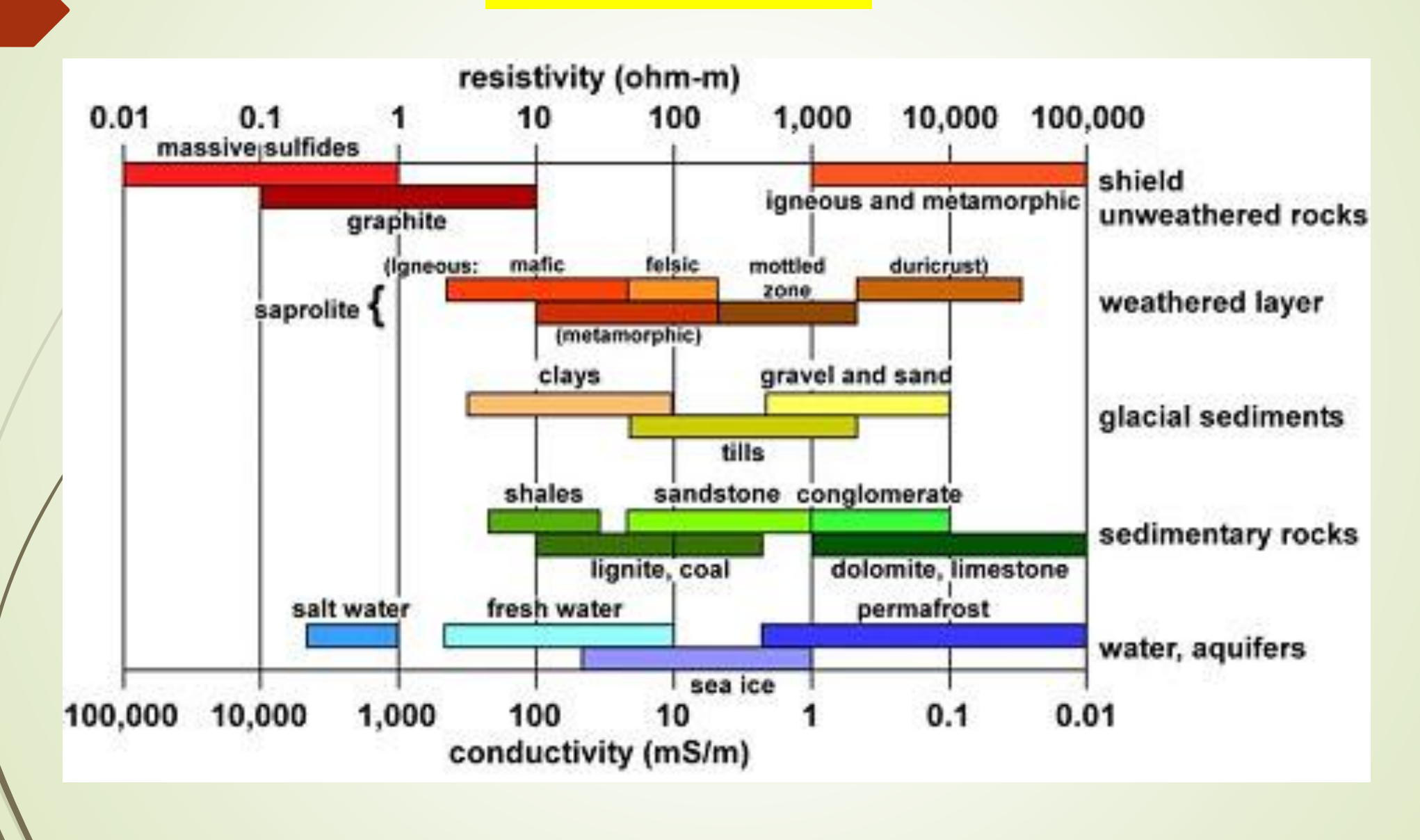
♂ (相對地應力)

其中: $\gamma(\lambda, T, \rho)$ 為介面對某一頻率 fi 的反射係數, m_i 為某一頻率的電磁波列數 q 為接收反射上來電 磁波引起的電子擾動的總電量,h 為普朗克常數

$$\int_{a}^{fh} F(f) df$$
 為反射至地表的某一段電磁波頻率的積分, fh 為高頻點, fl 為低頻點



物質的電性多解性



1. 判釋方法(逐步收斂、確認)

建立探測範圍之 兩垂直剖面電性圖

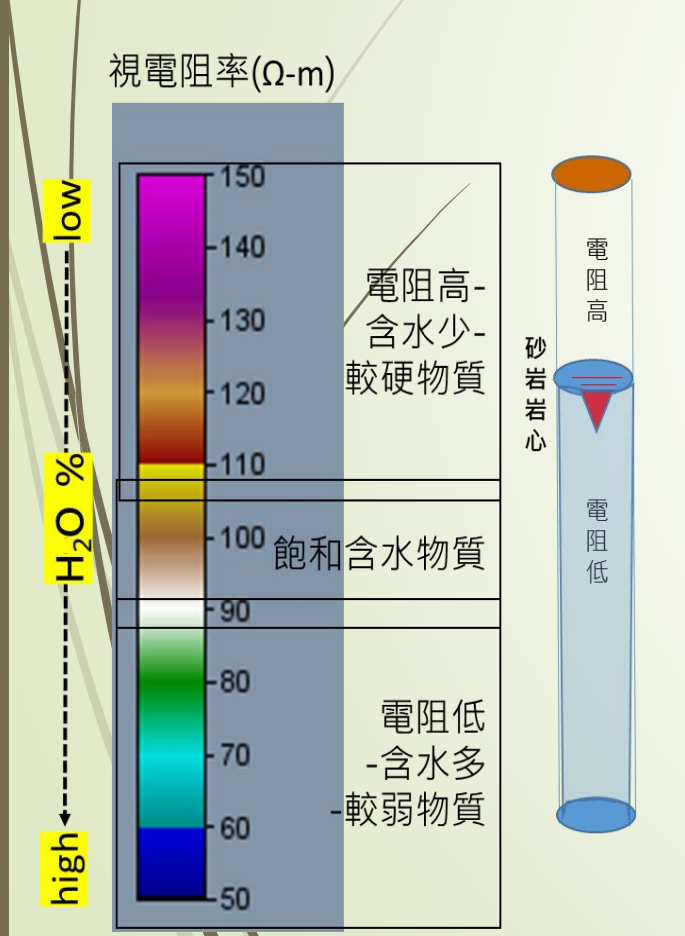


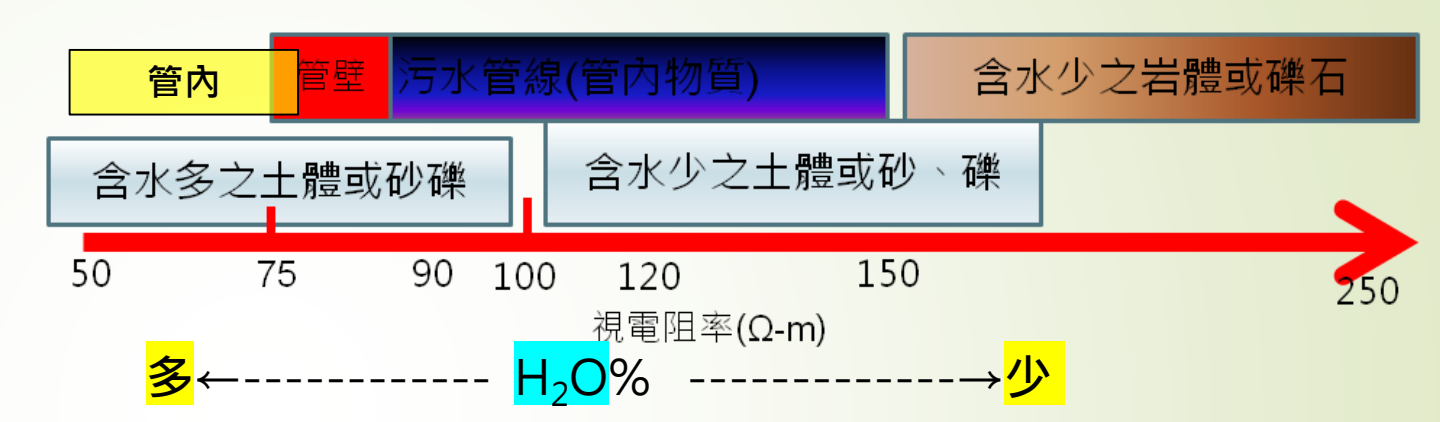
電阻率區間分類 (管線物性-電阻大包絡電組小)



影像過濾(形狀-管徑)

2. 物質的多解性(1種量值-可能對應-多種物質)





- 一根砂岩岩心在自然實體的認知是砂岩,但若因含水%、受壓的差異,則電阻率就不盡唯一,而是一範圍的值域
- 同樣的,管壁與周圍回填土體的電性物理性質接近,亦會造成 多解性的混淆、困擾,需藉由經驗判是協助判斷埋深、管徑大 小等等合理之邏輯來確認。

低頻電磁波探勘儀器有別於傳統技術

- ◆被動源法,工作頻段低,穿透性高
- ◆儀器遮罩效果佳、方向性穩定
- ◆非破壞式,不受人為結構及地形影響
- ★速度快、成本低,有效篩選熱點區
- ◆提交報告週期短
- ◆可執行大範圍前導型快篩-細部加密 探勘-週期性監測與檢核資訊建立

方法	探測深度 範圍(公尺)	受地形影 響之程度	探測經費(以相同測 區範圍為比較基準)	探測結果	
折射震測	0~30	低	中	岩石震波速度分布	
反射震測	0~3000	间	高	地質構造及震波速度分布	
垂直地電阻 法	0~800	Ф	低	測點下方岩層電阻率分布	
地電阻影像	0~500	低	ф	測線下方岩層電阻率分布	
人控音頻大 地電磁法	0~1000	低	低	測點下方岩層電阻率分布	
大地電磁法	0~10000	低	低	測點下方岩層電阻率分布	
重力法	0~5000	盲	中	測點下方岩石密度分布	
磁力法	0~5000	ф	低	測點下方岩石磁感率分布	
透地雷達法	0~20	中	高	測線下方地質構造	

(摘自Hubbard and Rubin,2005)

二、地勘技術應用

在台灣已有探勘經驗

- 1.地下管線
- 2.地下水
- 3.地下地質結構
- 4.地下廢棄物掩埋
- 5.土壤與道路含水量
- 6.坑洞探測
- 7.崩坍滑動面
- 8.水下探測

正在測試的地勘項目

1.建物健檢

大陸已探勘項目

1.礦物探測

有潛力發展的探勘項目

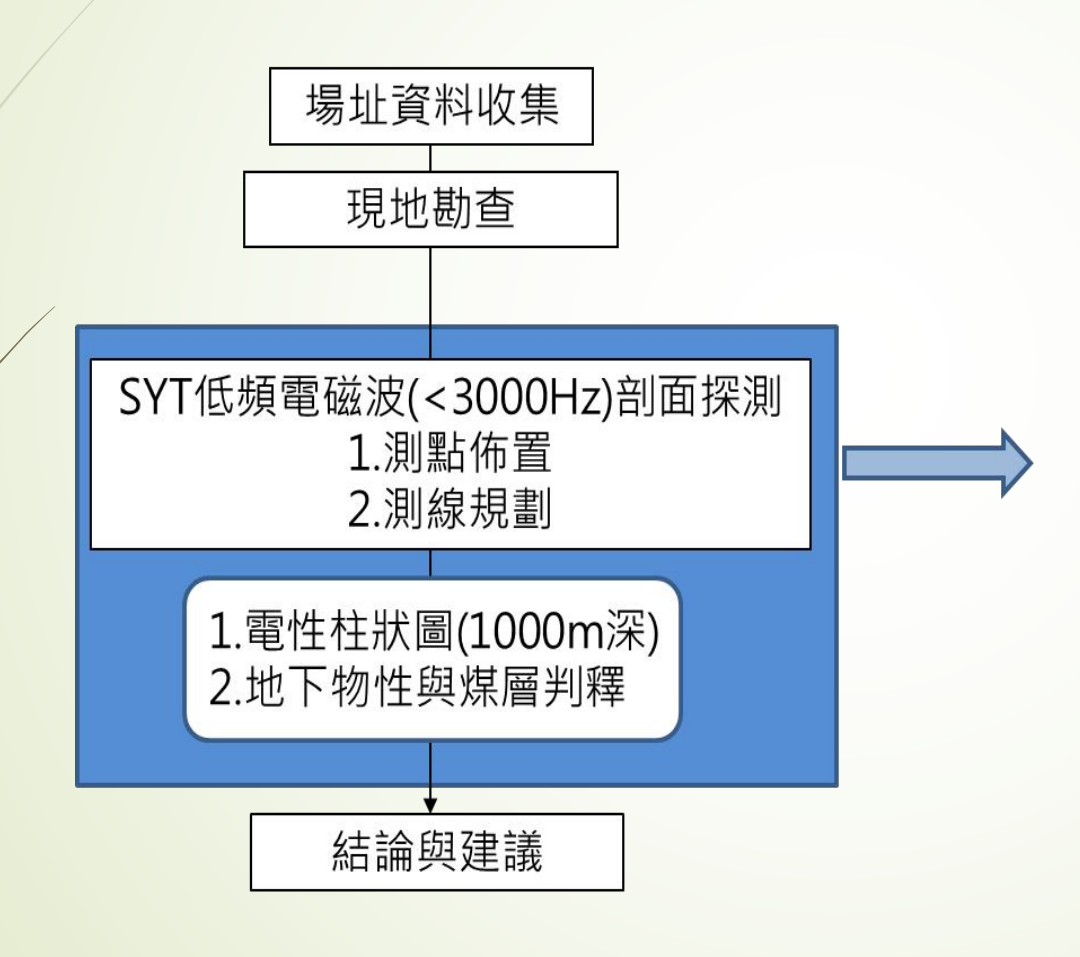
- 1.考古探測
- 2.隧道地質探測
- 3.寶藏探測

探勘的實務計畫

- a) 2017-2018,臺北市地下管線探勘。與道路下陷探勘
- b) 2018,水利署彰化縣地層下陷、礁溪溫泉探勘
- c) 2017, 水利署伏流水、與越域引水到隧道探勘
- d) 2017-2018, 六都中的高雄、台南、台中市的地下管線探勘 (試探)
- e) 2018,工業局、台電、公路總局地下管線探勘
- f) 2018,臺北市自來水處的自來水管線(漏水)探勘
- g) 2017,臺北市大地工程處崩坍探勘
- h) 2017,環保署高雄旗山爐渣廢棄掩埋探勘

- i) 2017,臺北市捷運漏水探勘
- j) 2017,台鐵截彎取直地質探勘
- k) 2017,台水基隆水下管線探勘
- I) 桂林探勘500公頃園區地下水與溶洞
- m) 台台鐵鐵路蓋到煤礦區探勘
- n) 2015-2018, 各地區溫泉探勘

三.礦產探勘的程序

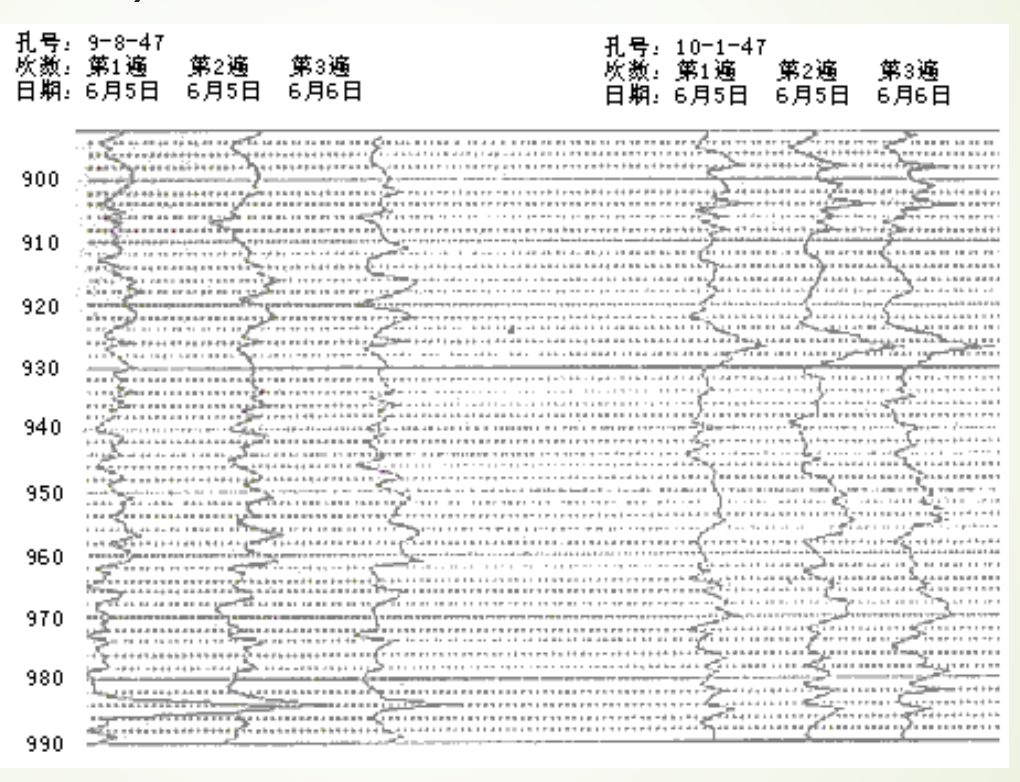


確認地下煤層、地下水 水分布與構造判釋



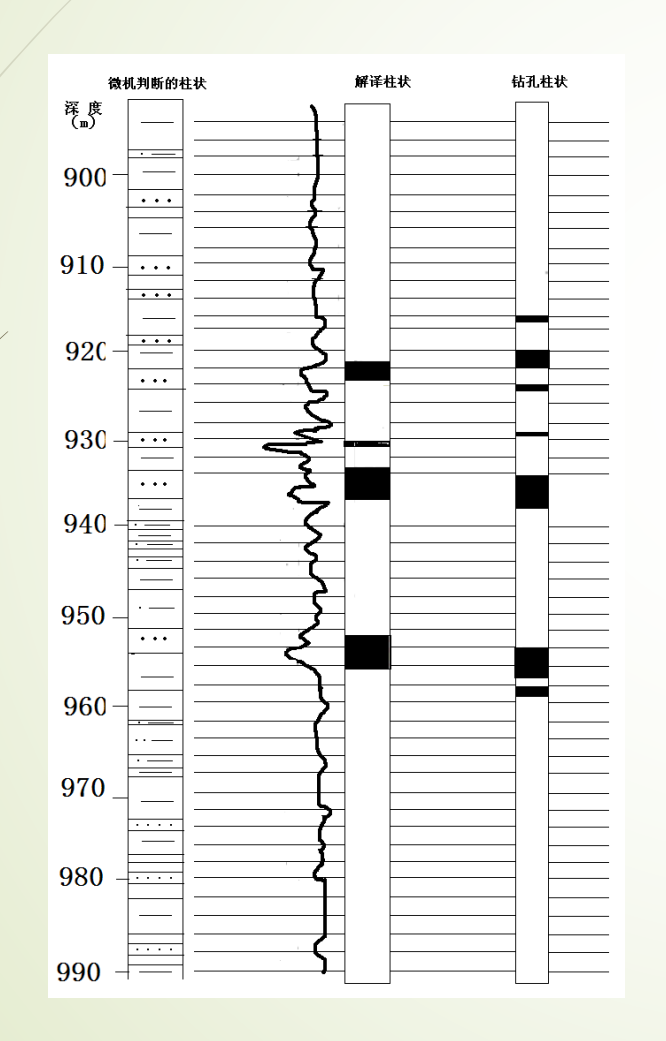
SYT物性地勘儀---1m解析度

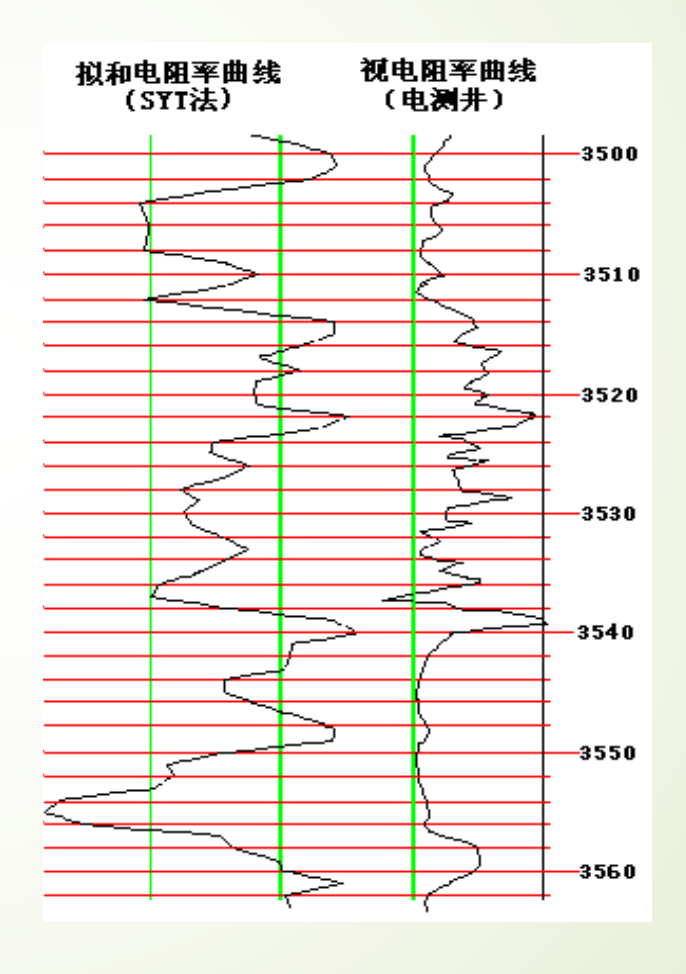
儀器的信度檢測 同一地點重複不同時間的探勘比對 (具有高相關性)



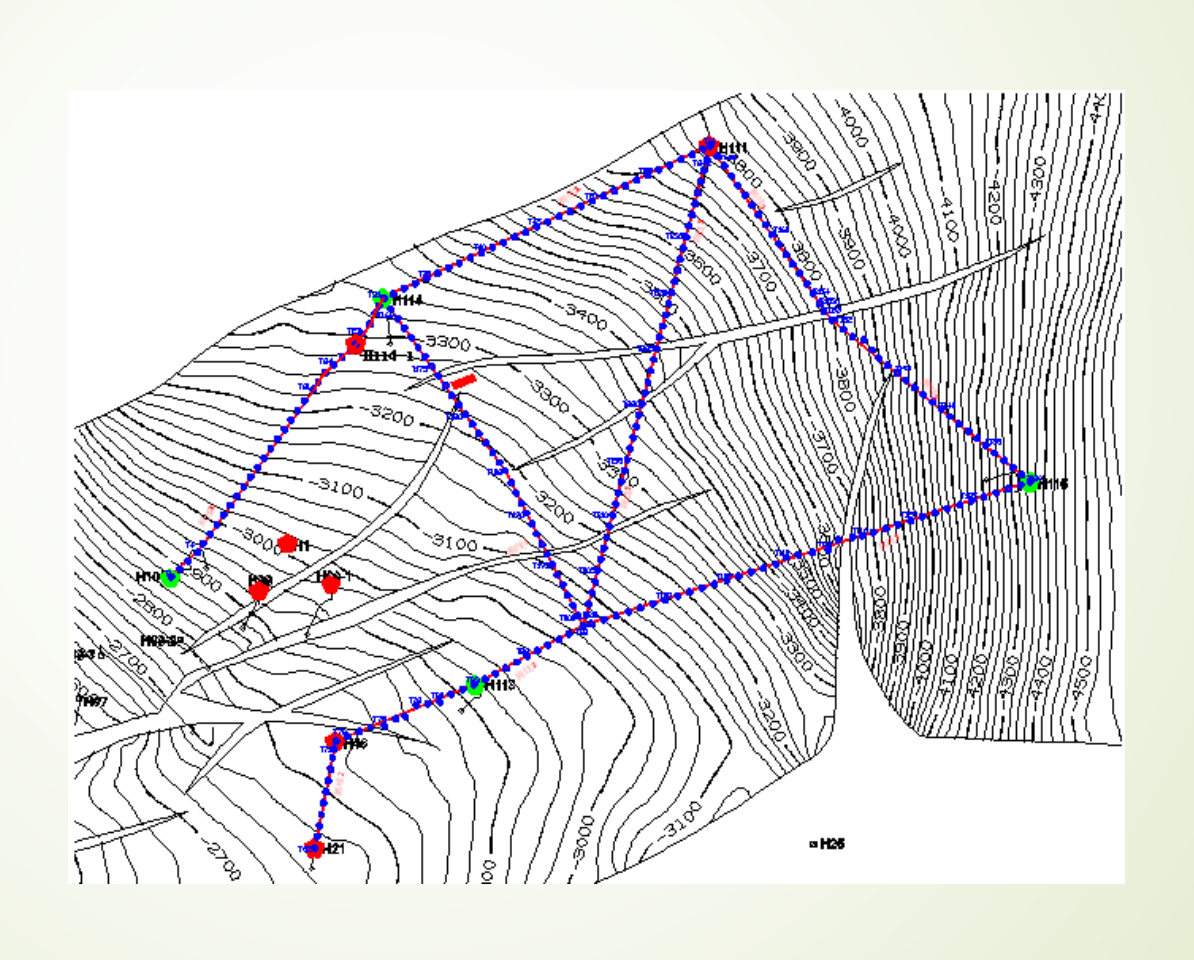
探勘單點相當於一個鑽孔資料

一系列的探勘點可以形成地質剖面,可用此地電阻判釋地質的組成與結構

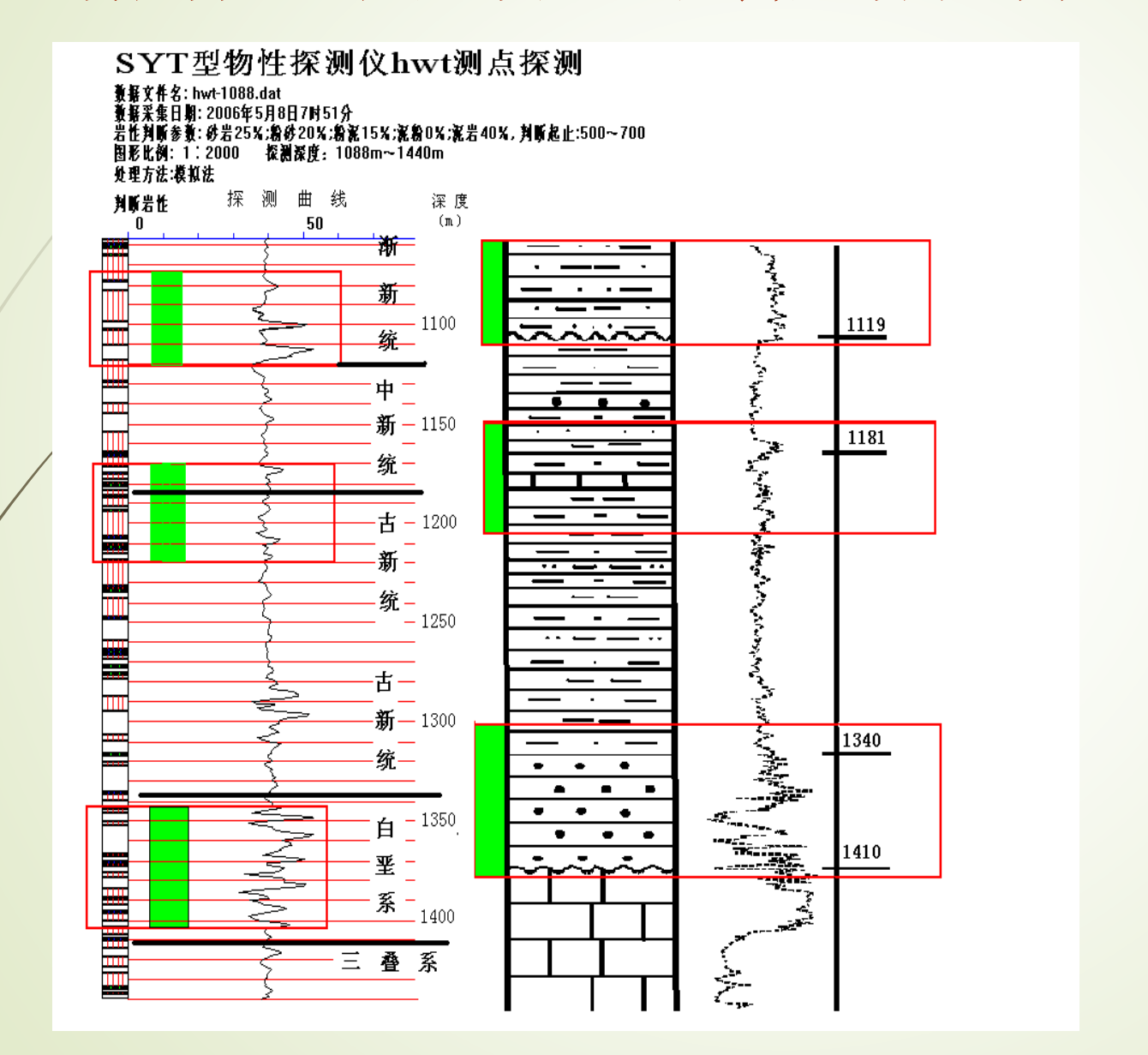




規劃探測計畫(設計探測線與測點分佈)

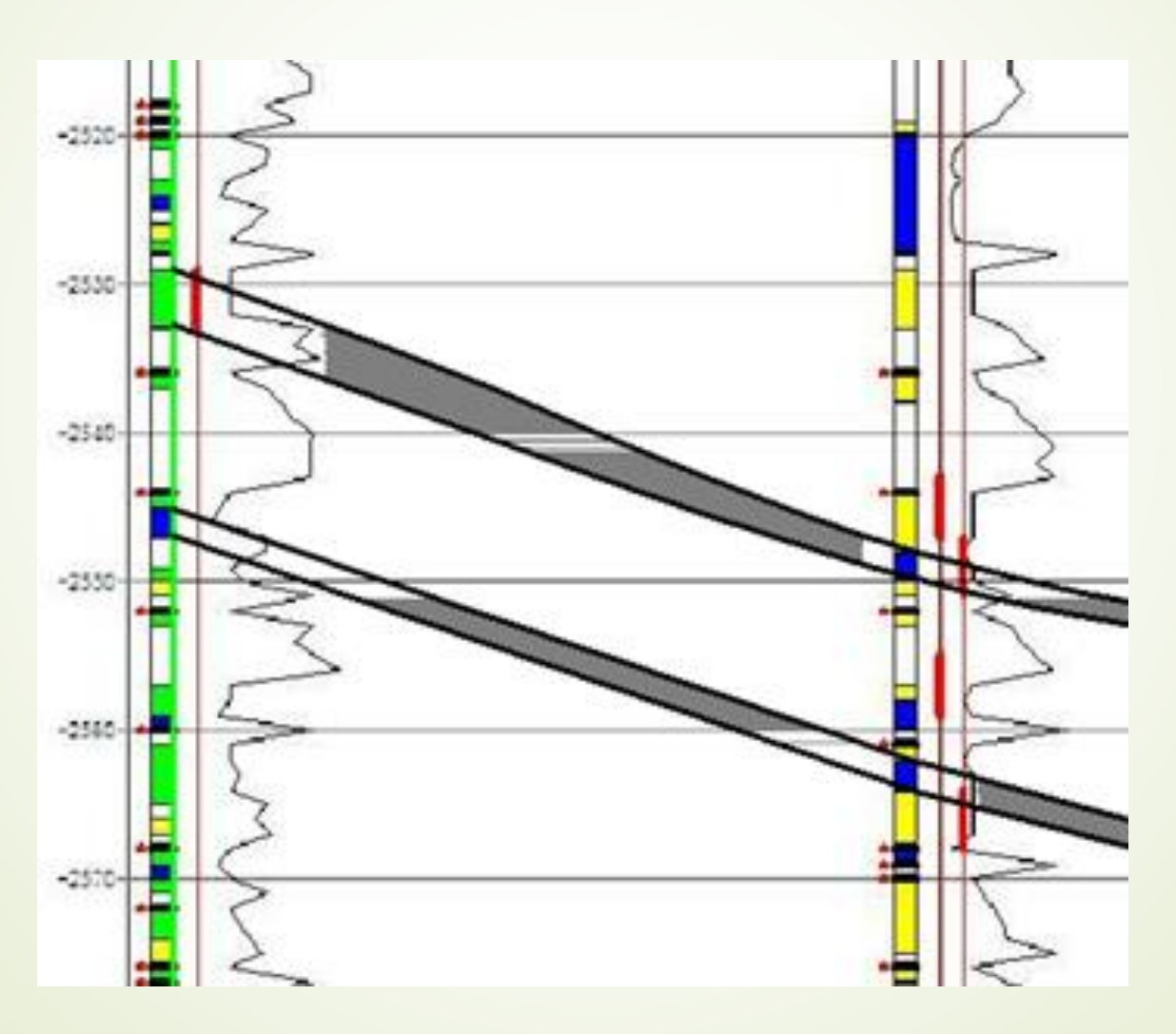


判釋:對照已知鑽井資料可以劃分地層時代與確定岩性層 鑽孔自然電位曲線和SYT探測曲線對比圖

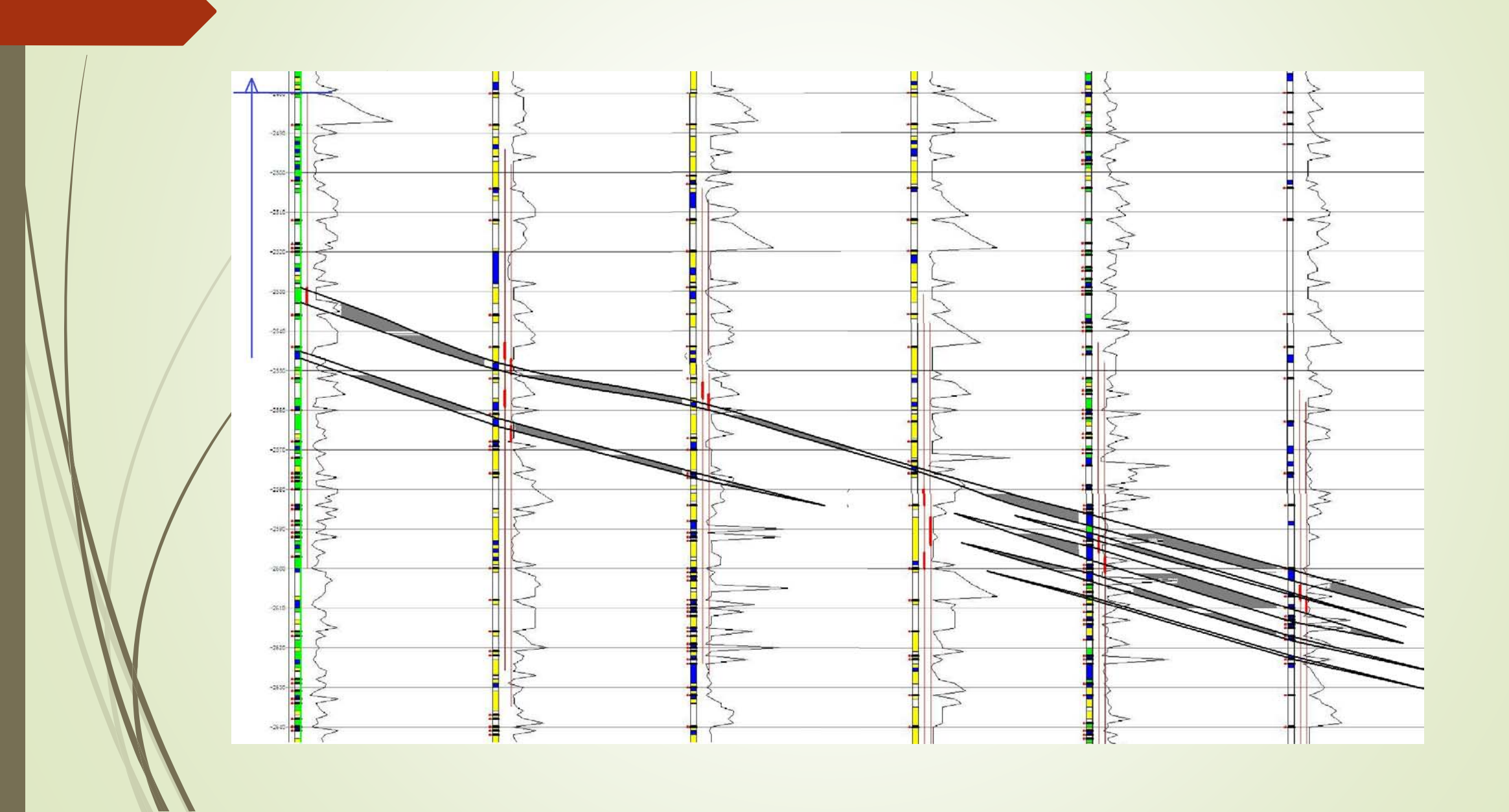


地層內礦床的地電阻特徵

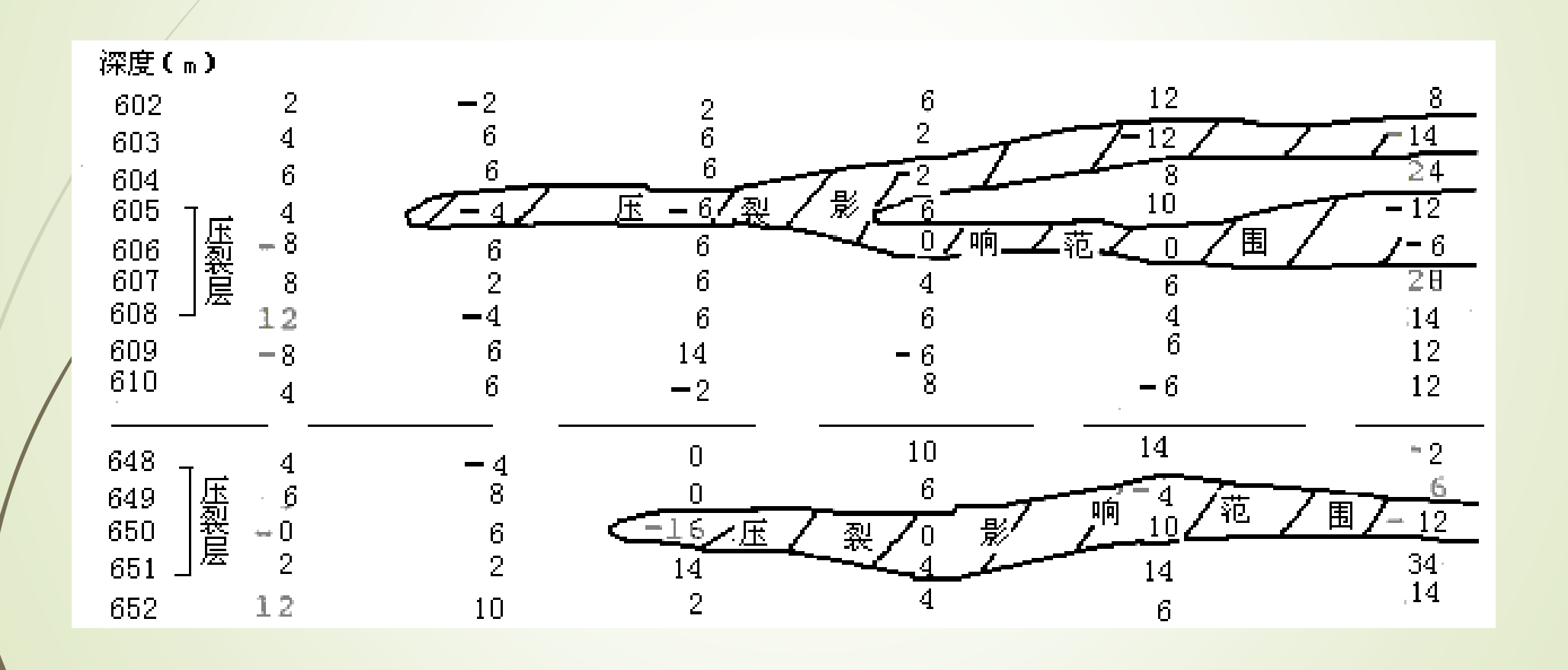
(找到石油的地電阻歸屬函數、較一般地層地電阻較低再考慮其他的PATTERN的特徵)



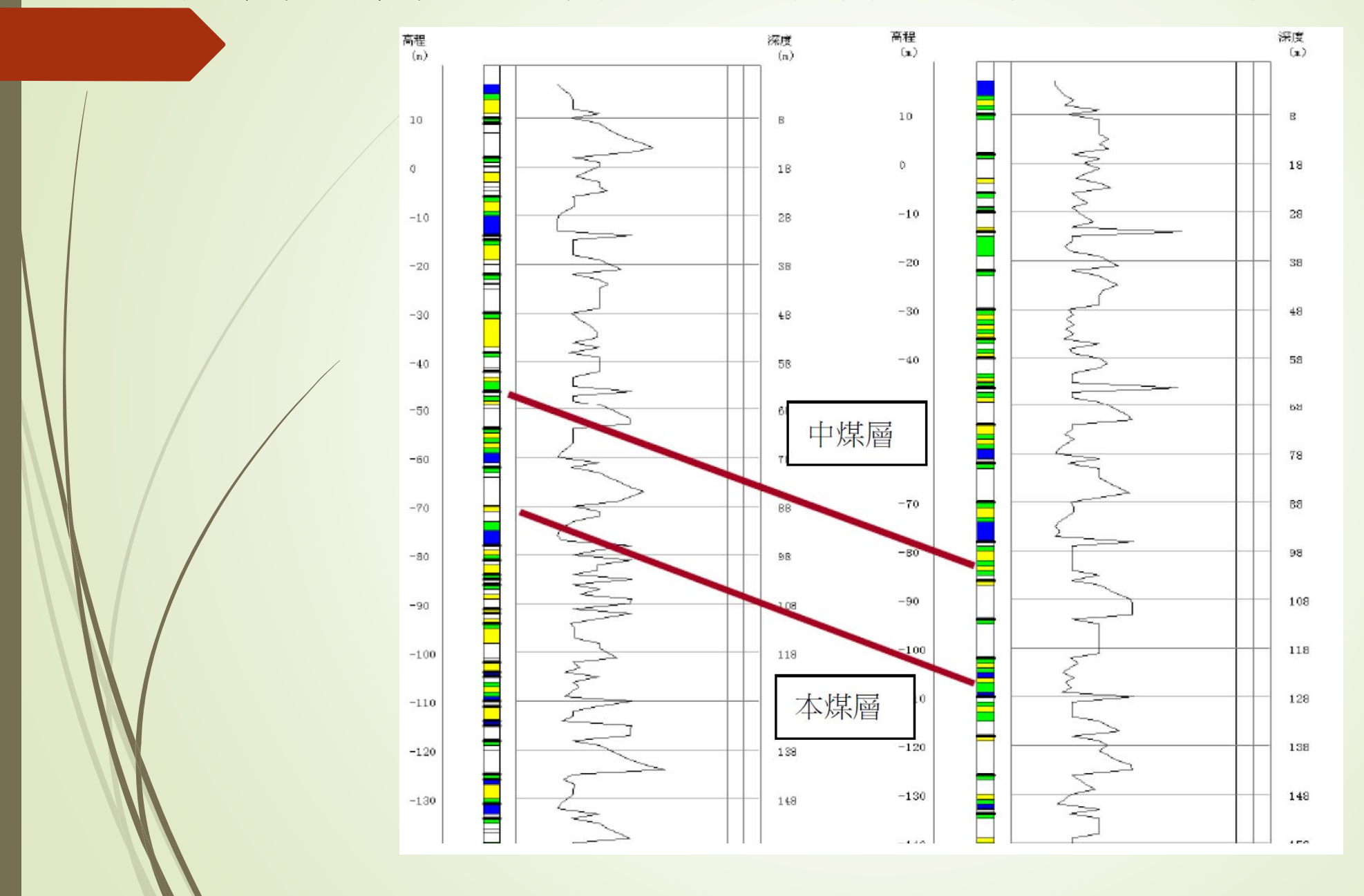
判釋:每一條測線分析礦床判釋剖面分佈圖



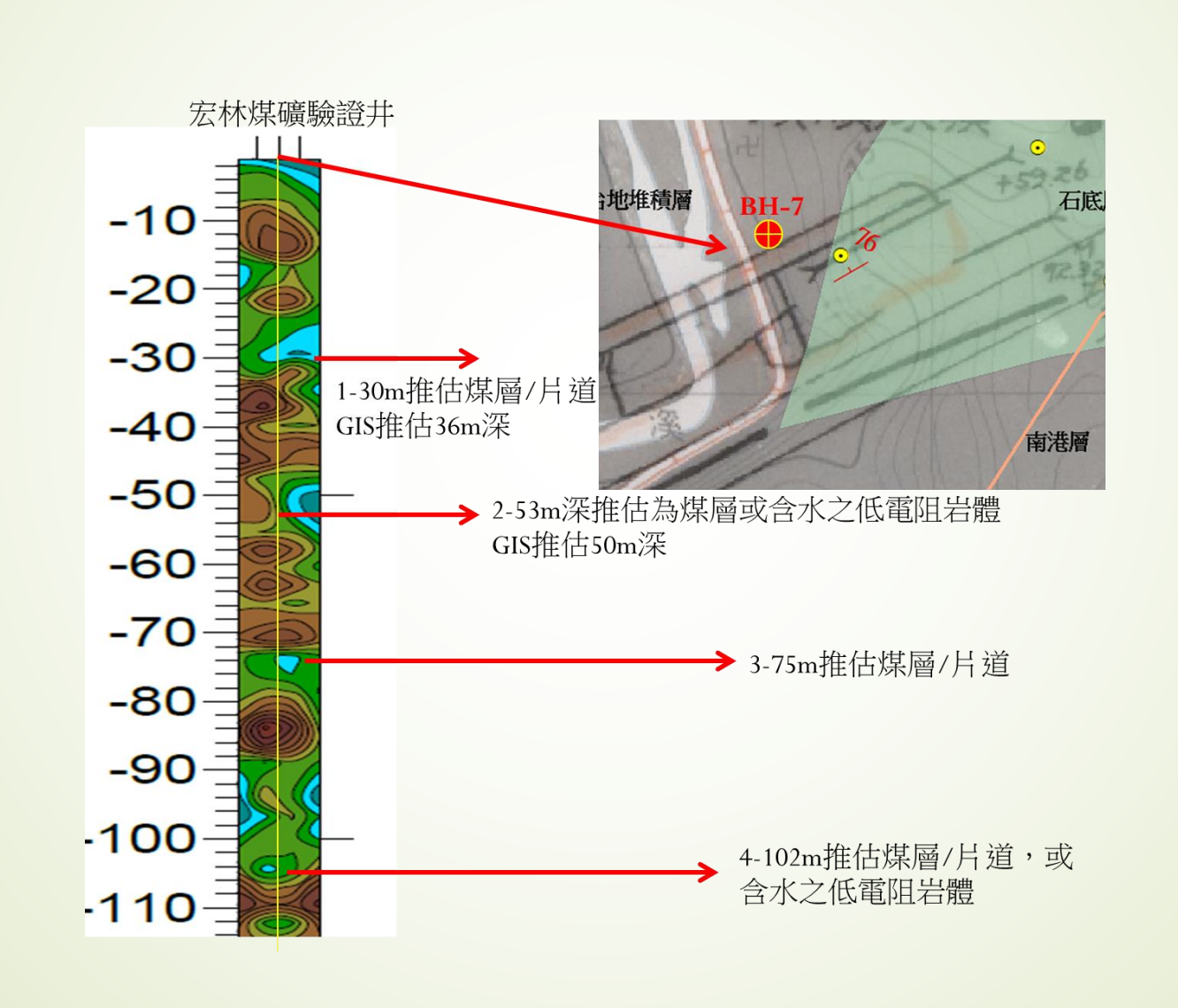
分析:地應力分析,如,礦床壓裂效果追蹤



偵測各測線計算各礦床含量高低的均數剖面圖



分析繪製探勘礦床剖面分佈圖



驗證:地質鑽探資料驗證物探資料的正確性 誤差在10m之內、平均約在2-3m誤差範圍內

BH-7煤礦驗證井岩心分析



- ◆28~28.4m風坑上盤破裂帶,岩體因上覆荷重而碎裂
- ◆28.4~30.8m應為風坑本體,若考量鑽井取樣誤差,會再小些。坑 道空間堆積許多碎石塊,應為風坑上盤岩體經壓碎而落盤造成
- ◆30.8~31.2m---為坑底附近,殘留煤層、煤渣及捨石等物質
- ◆原GIS推估約地下36m深,係因地表高程誤差所致
- ◆SYT探測深度為30m,誤差1m內

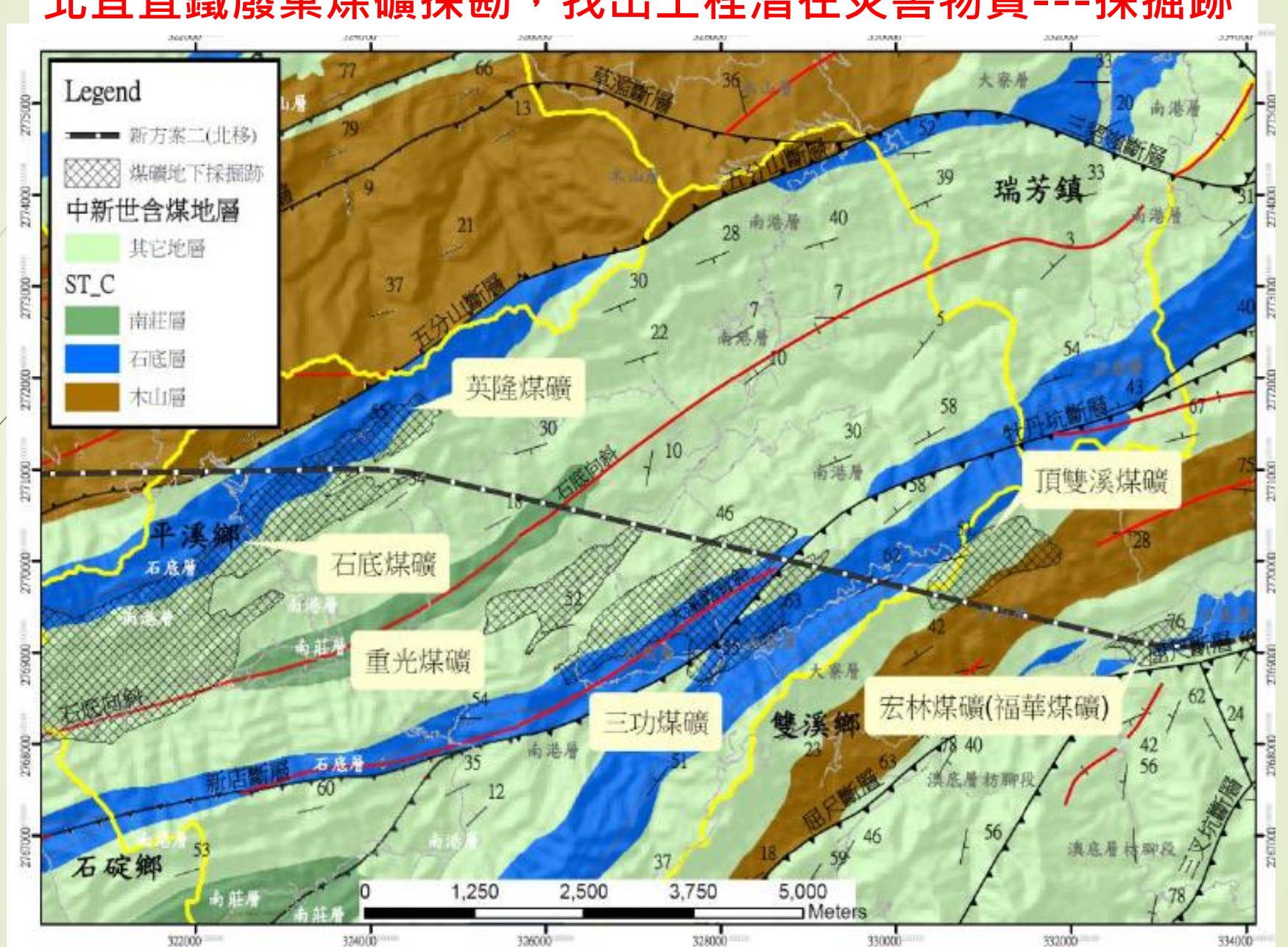
四、礦產探勘的實務案例

- (一)礦產探勘
 - 1.煤礦
 - 2.其他金屬礦
 - 3.石油礦
- (二)地熱探勘
- (三)地下水探勘
- (四)地質構造與水土保持探勘
- (五)地下坑洞探看(老礦坑)
- (六)水下的礦區探勘
- (七)山崩與地震前兆偵測(潛在礦災前兆)

(一)礦產探勘

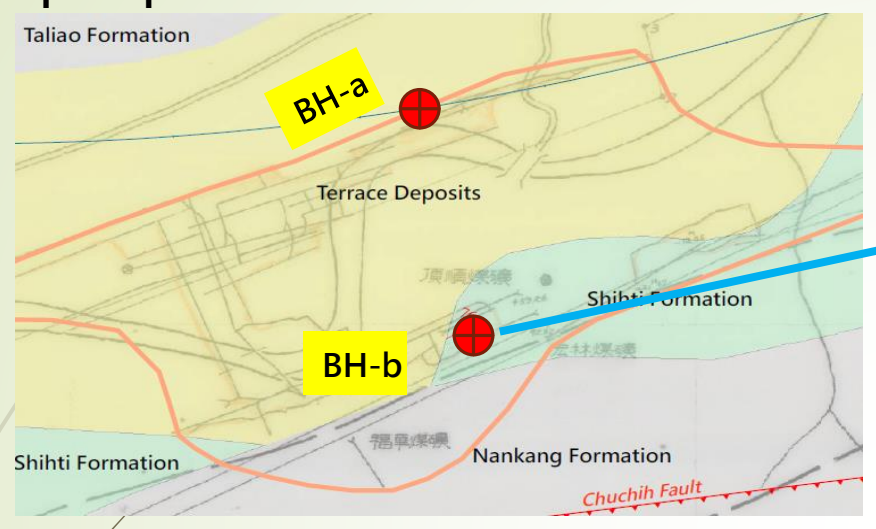
- 1.煤礦
- 2.其他金屬礦
- 3.石油礦

1.煤礦: 北宜直鐵廢棄煤礦探勘,找出工程潛在災害物質---採掘跡



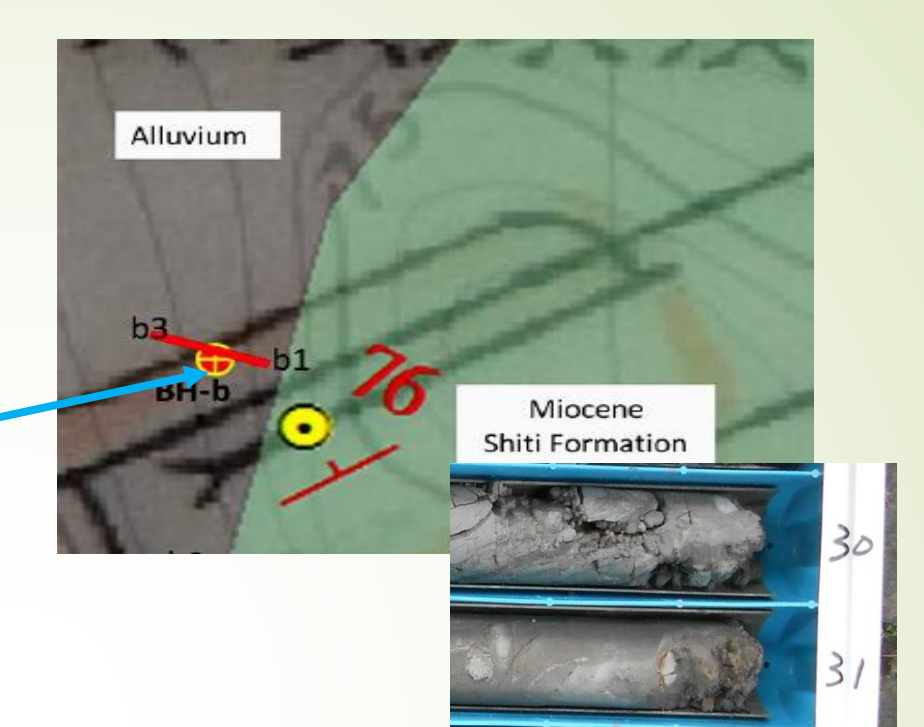
Case B: test group

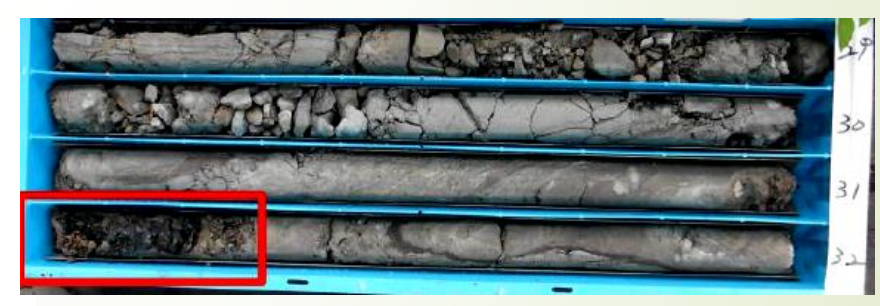
□prospected had done before drilled



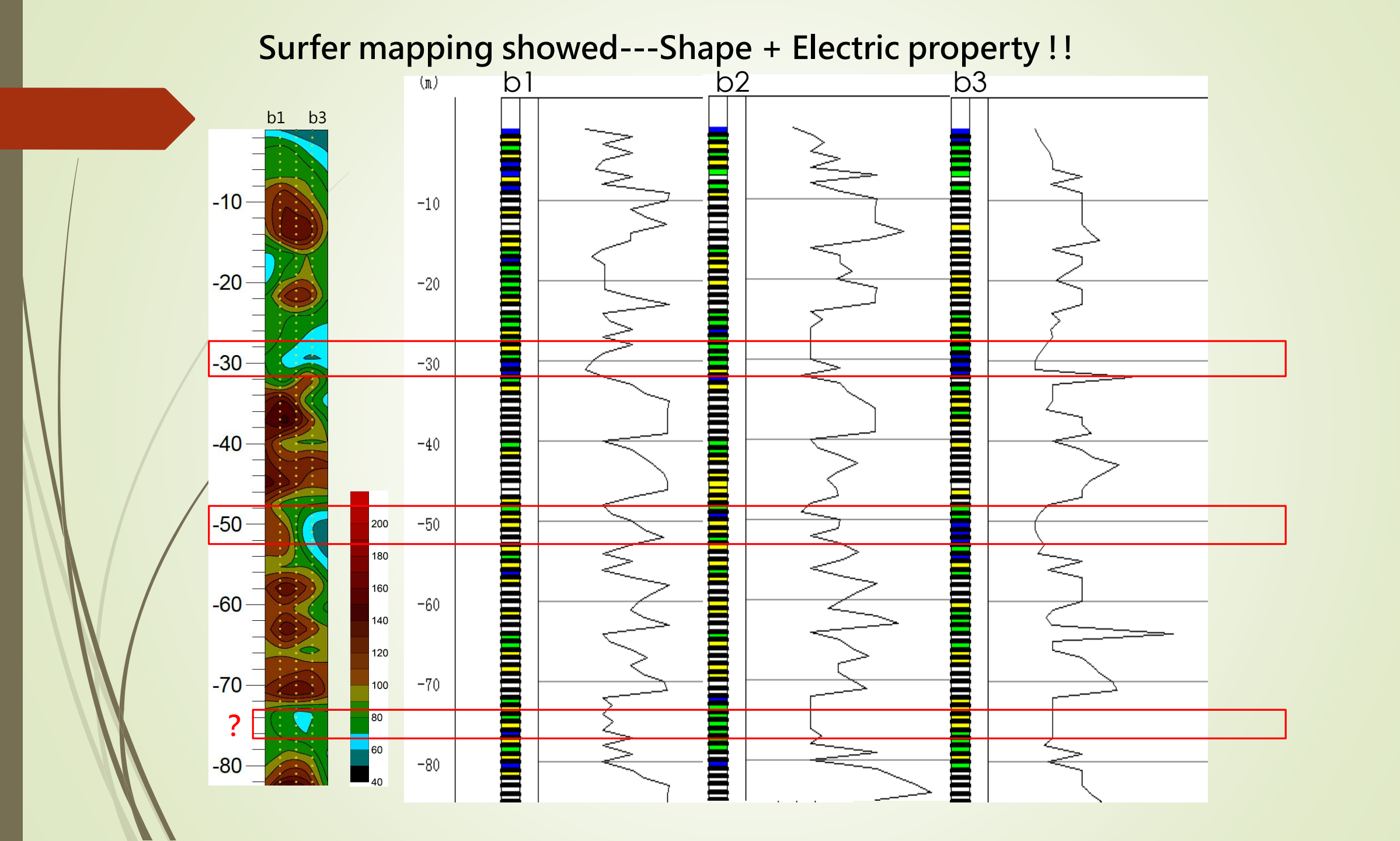
⁄b3 b2 b1

	Depth	Resistivity	Depth	Resistivity	Depth	Resistivity	Rank
	-21 -22 -23 -24 -25 -26	101.006 101.091 101.163 68.983 77.588 67.787	-21 -22 -23 -24 -25 -26	71.078 101.173 141.038 69.866 76.690 101.138	-21 -22 -23 -24 -25 -26	141.120 139.667 139.678 69.887 82.382 69.807	D -21 D D B -24 B A -26
	-28 -29 -30 -31 -32	62. 226 55. 328 50. 016 50. 021 155. 529	-28 -29 -30 -31 -32	101.074 69.830 58.163 50.134 71.014	-28 -29 -30 -31 -32	69. 865 69. 926 69. 888 101. 030 59. 961	B -28 B B C -31 A -32
	-34 -35 -36	69. 989 69. 898 62. 174	-34 -35 -36 -37 -38 -39	114.055 141.227 139.817 139.811 139.958 139.837	-34 -35 -36 -37 -38 -39 -40	109.885 123.055 139.935 139.980 139.850 139.710 69.887	D -34 D -35 D -36 D D D D











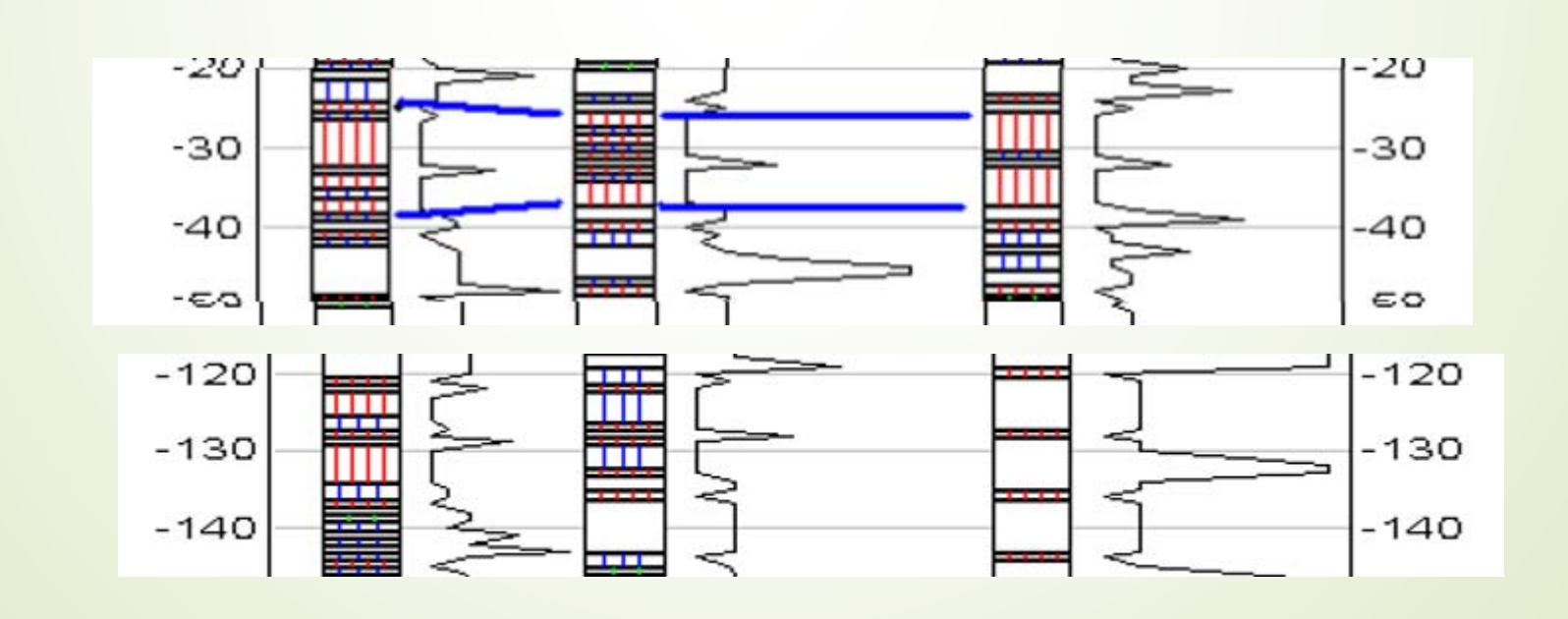
2.其他金屬礦

- ▶ 1)四川赤鐵礦礦脈
- ▶ 2)四川磁鐵礦
- ▶ 3)福建金屬礦體
- ▶ 4)內蒙金屬礦體(鉛銅)
- ▶ 5)內蒙錫林浩特鉛鋅礦
- ▶ 6)湖南黃貓頭金礦
- ▶ 7)河北豐寧縣金礦
- ▶ 8)磁鐵礦中探測含金礦脈

找礦的兩個判釋條件

歸納礦脈的地電阻的值域範圍與特徵

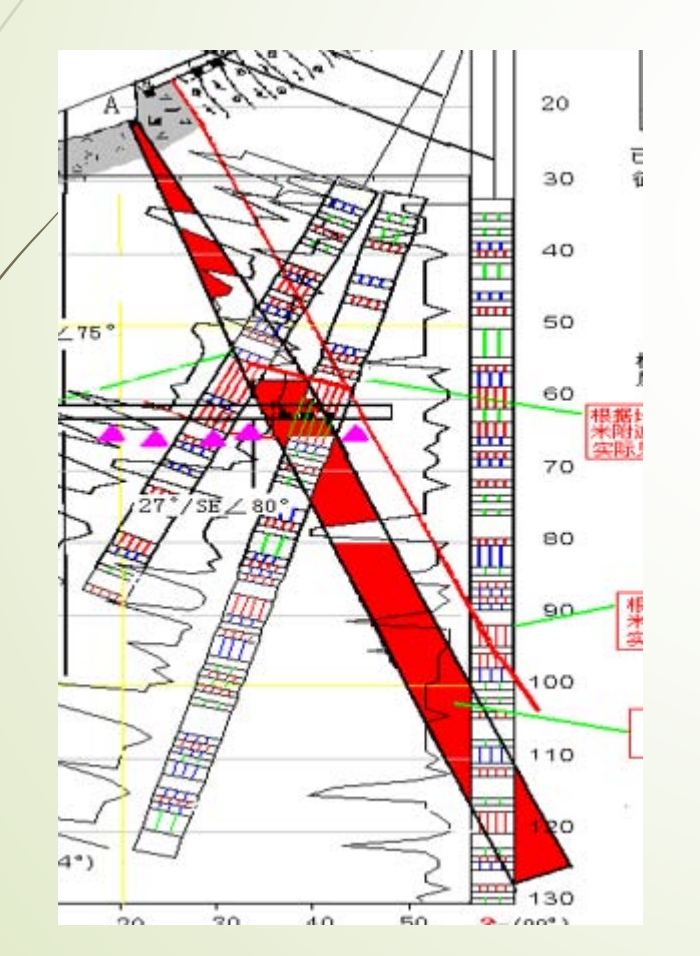
各種礦是不同的礦物與圍岩形成地電阻的特殊值域(要產生大數據來歸納,需要在實驗室中取得數據、或實證探勘中取的數據)、與PATTERN

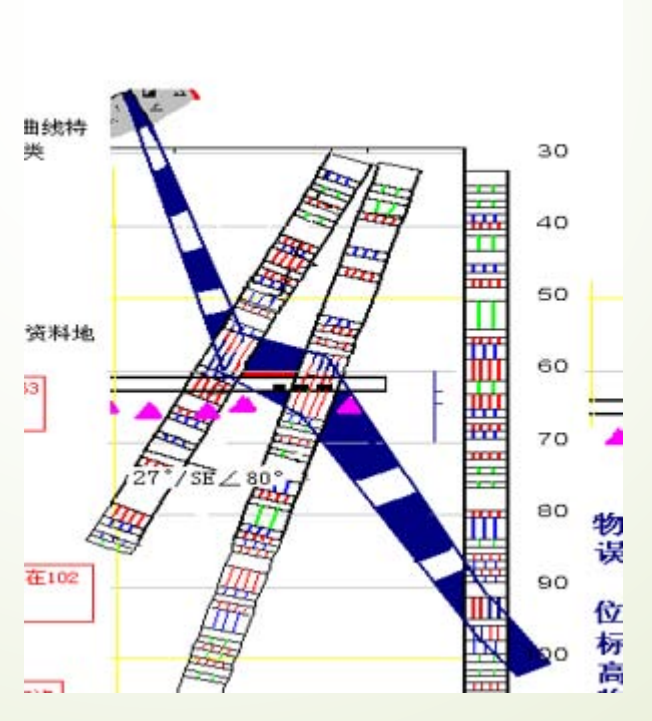


2.礦脈的存在

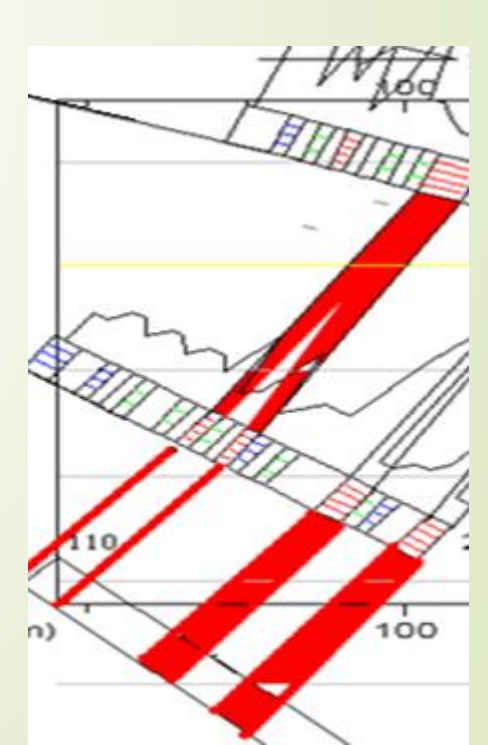
連接所有的可能礦測點的連線,形成脈狀則可能是礦脈

若高密度探勘,則可你連接STANDS來判定形狀是否為狹長型的STANDS則為礦脈,有時礦脈會分岔

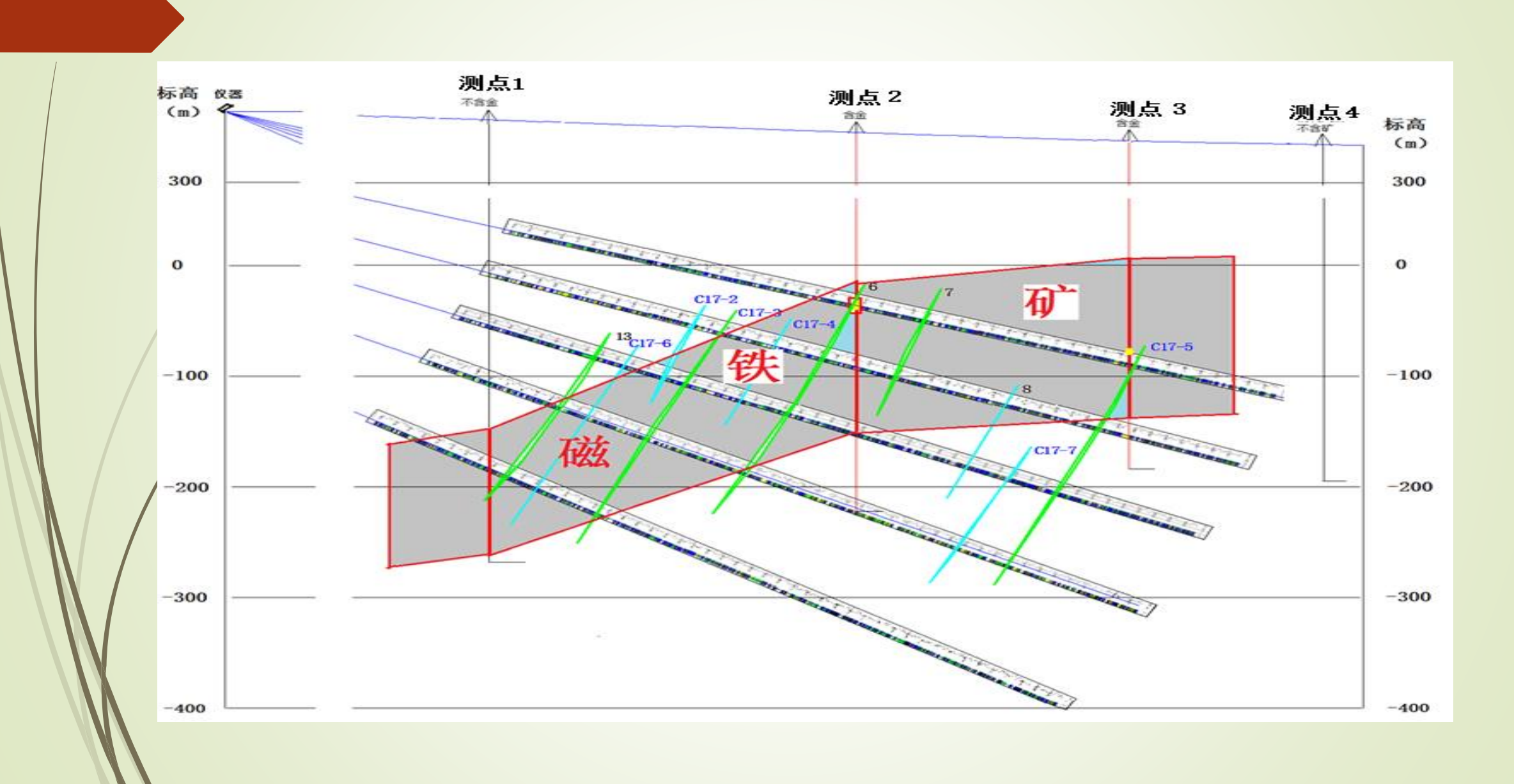


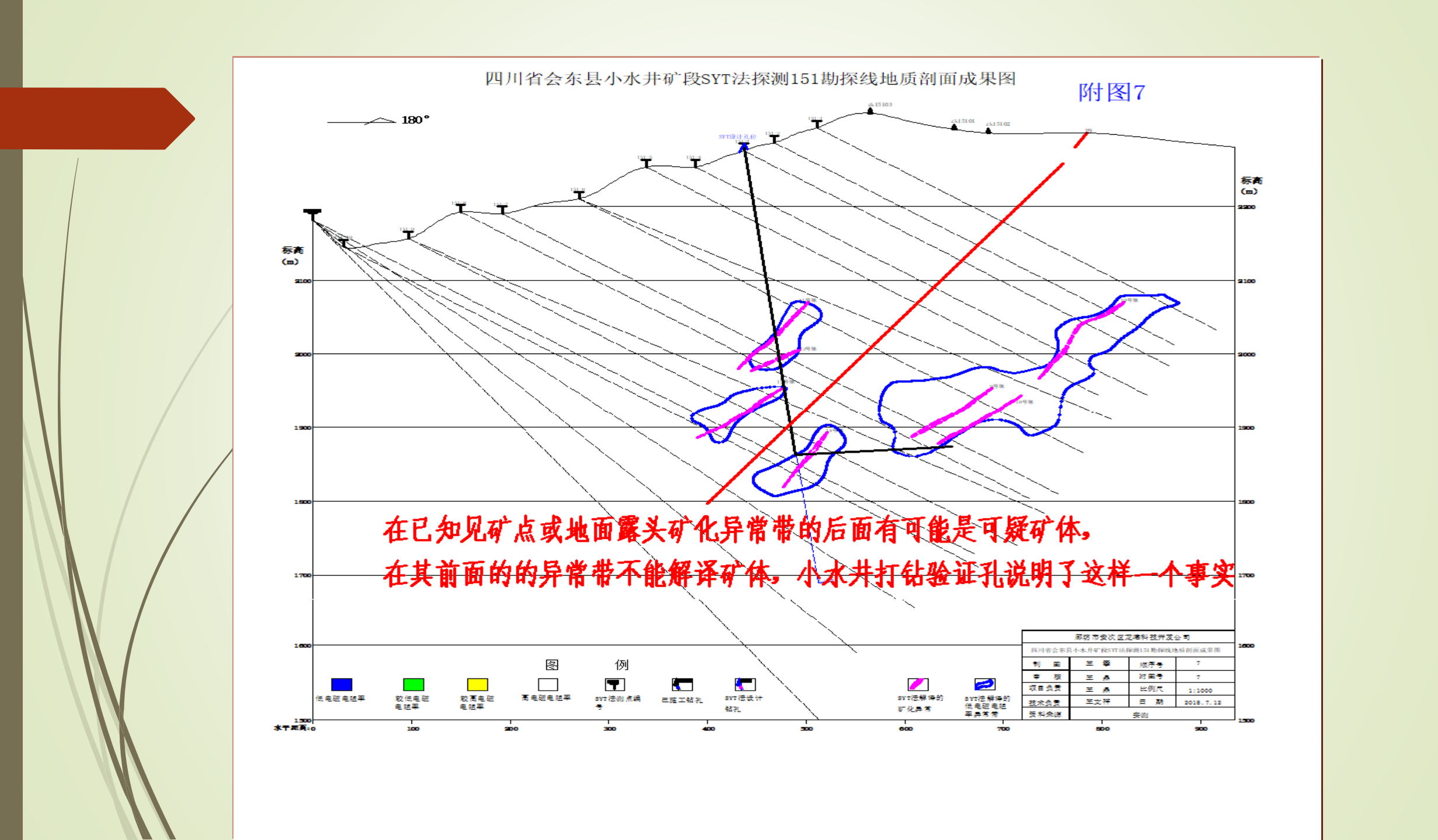


有時礦脈會分岔

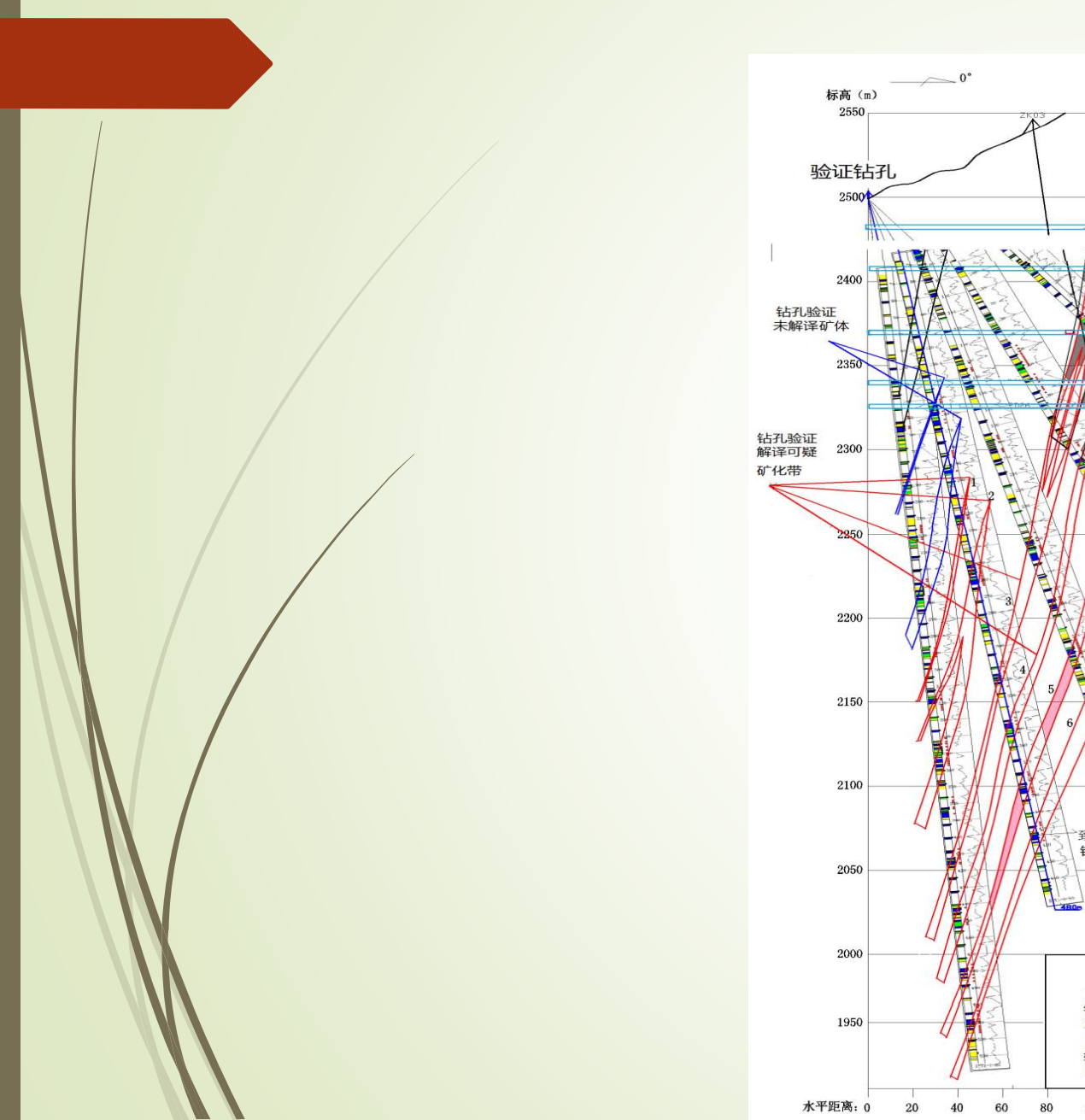


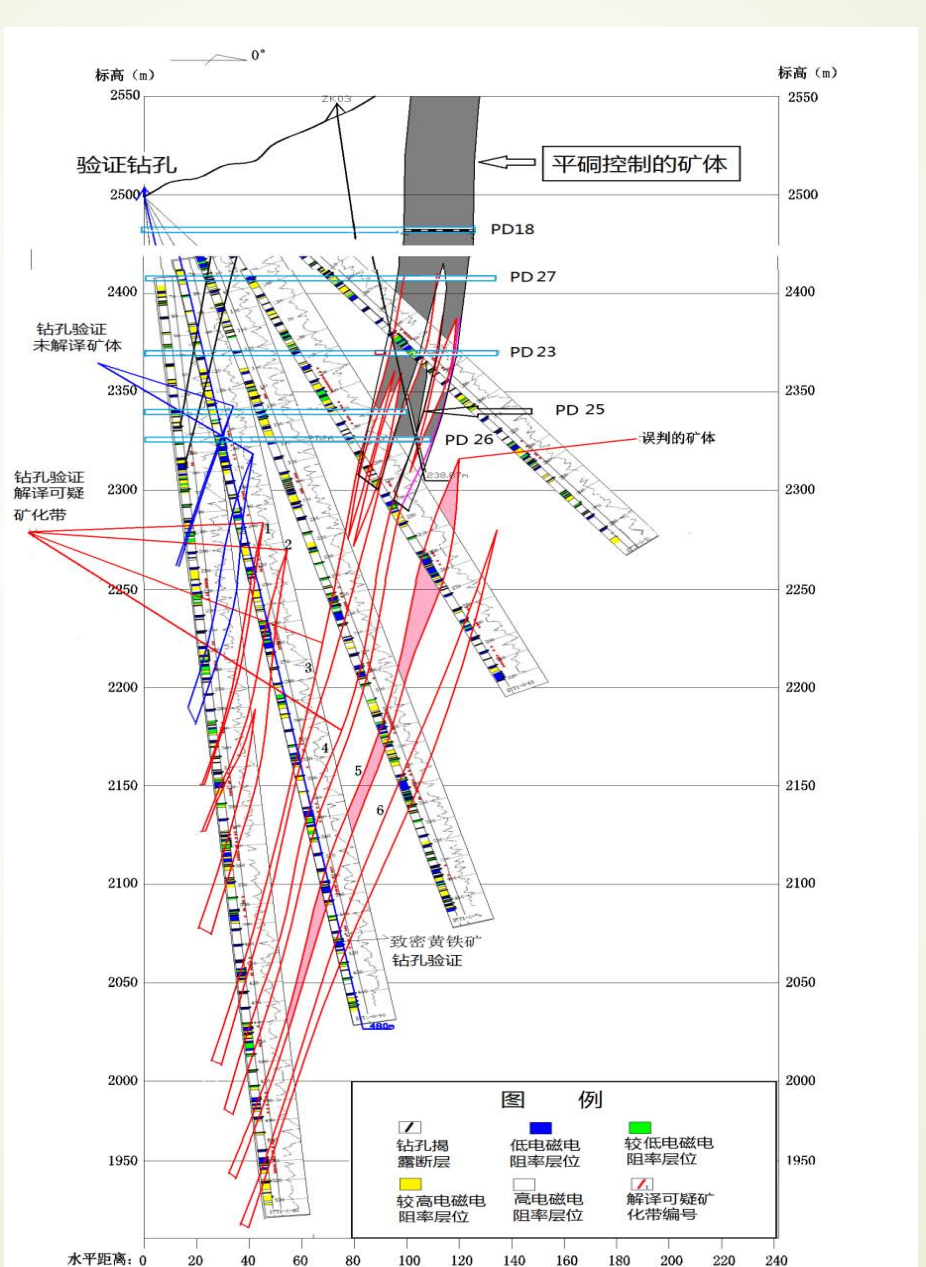
在磁鐵礦中探測含金礦脈的埋深與厚度



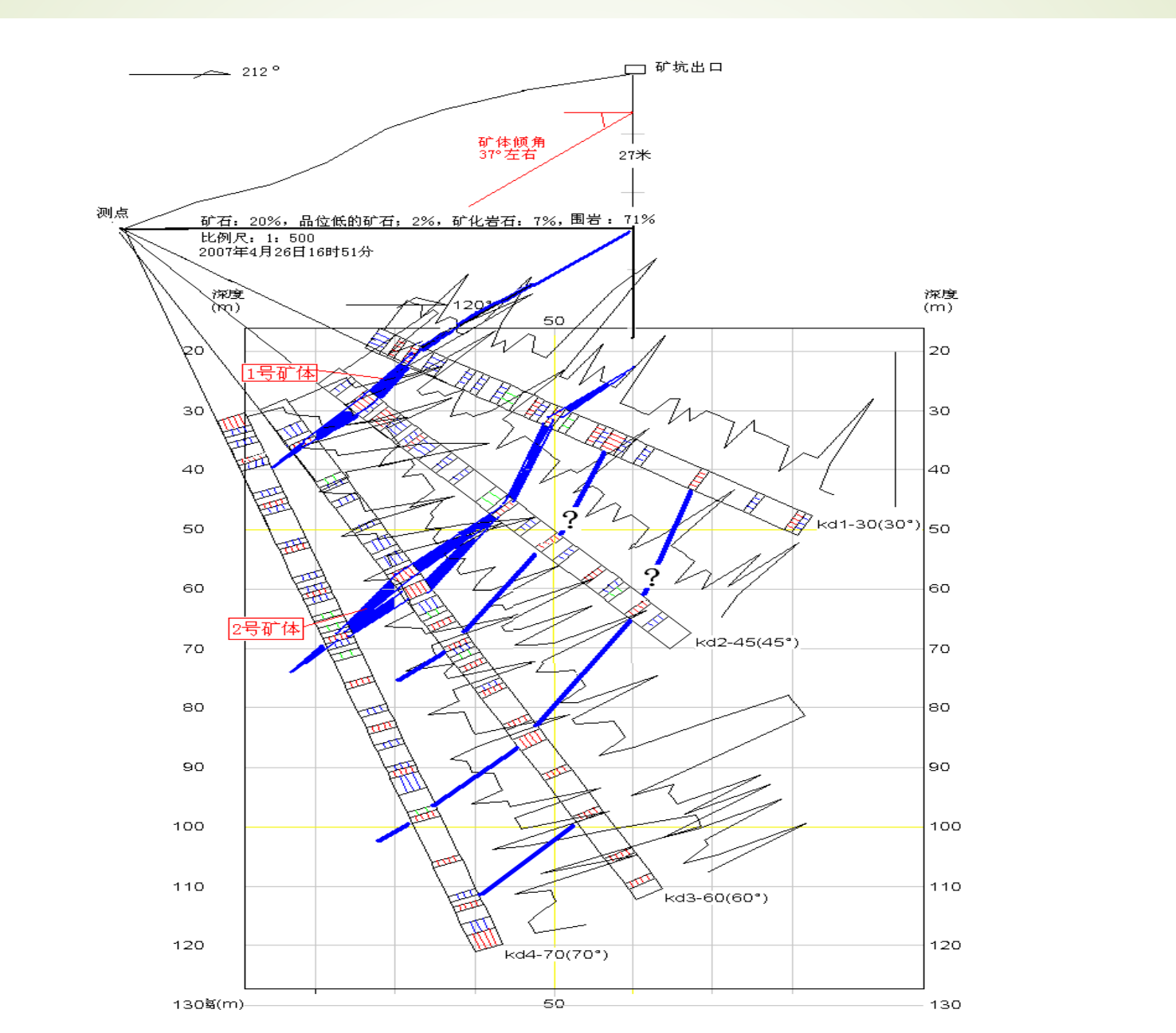


在四川打鑽驗證的赤鐵礦礦脈充分說明物探成果與鑽探的相似性

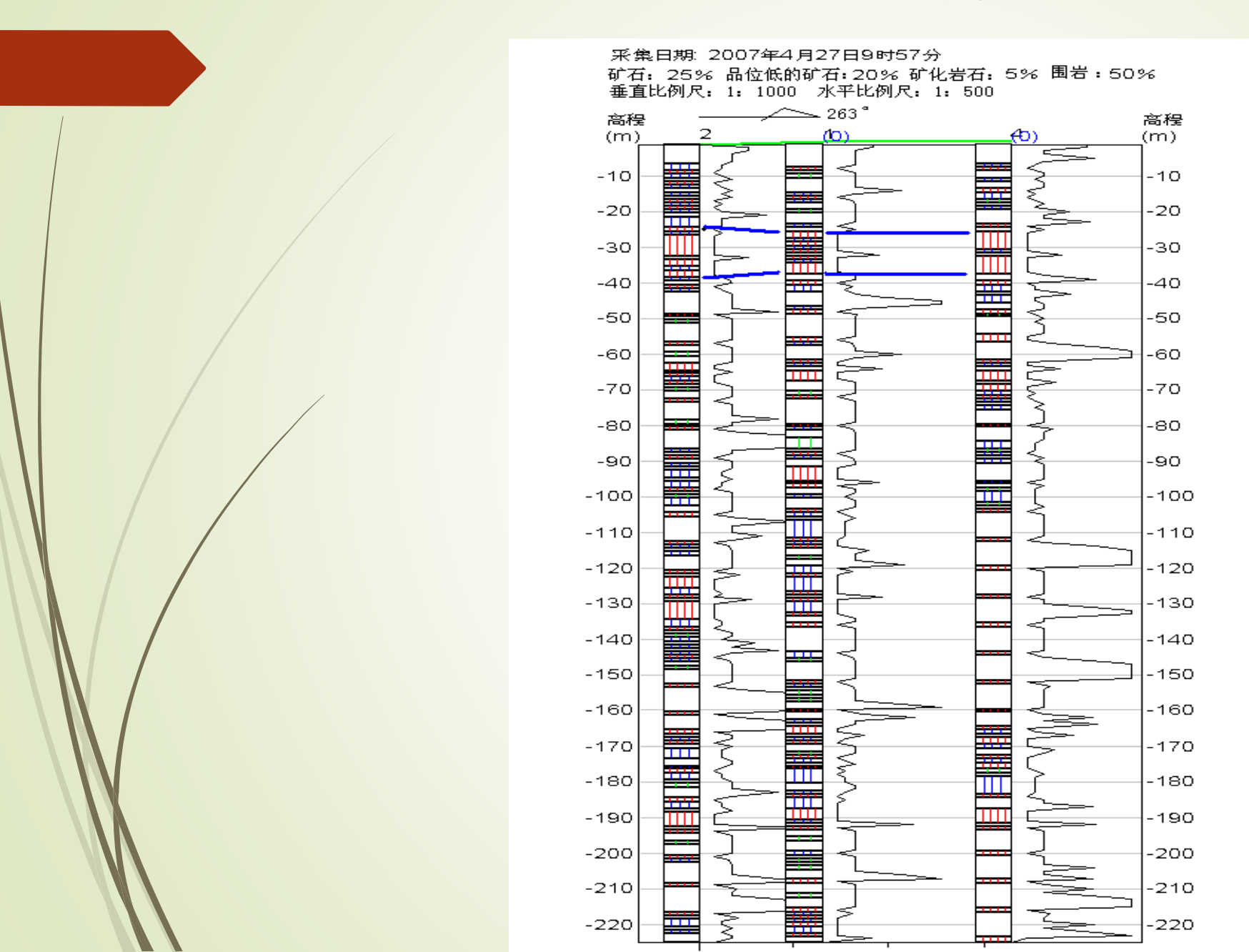




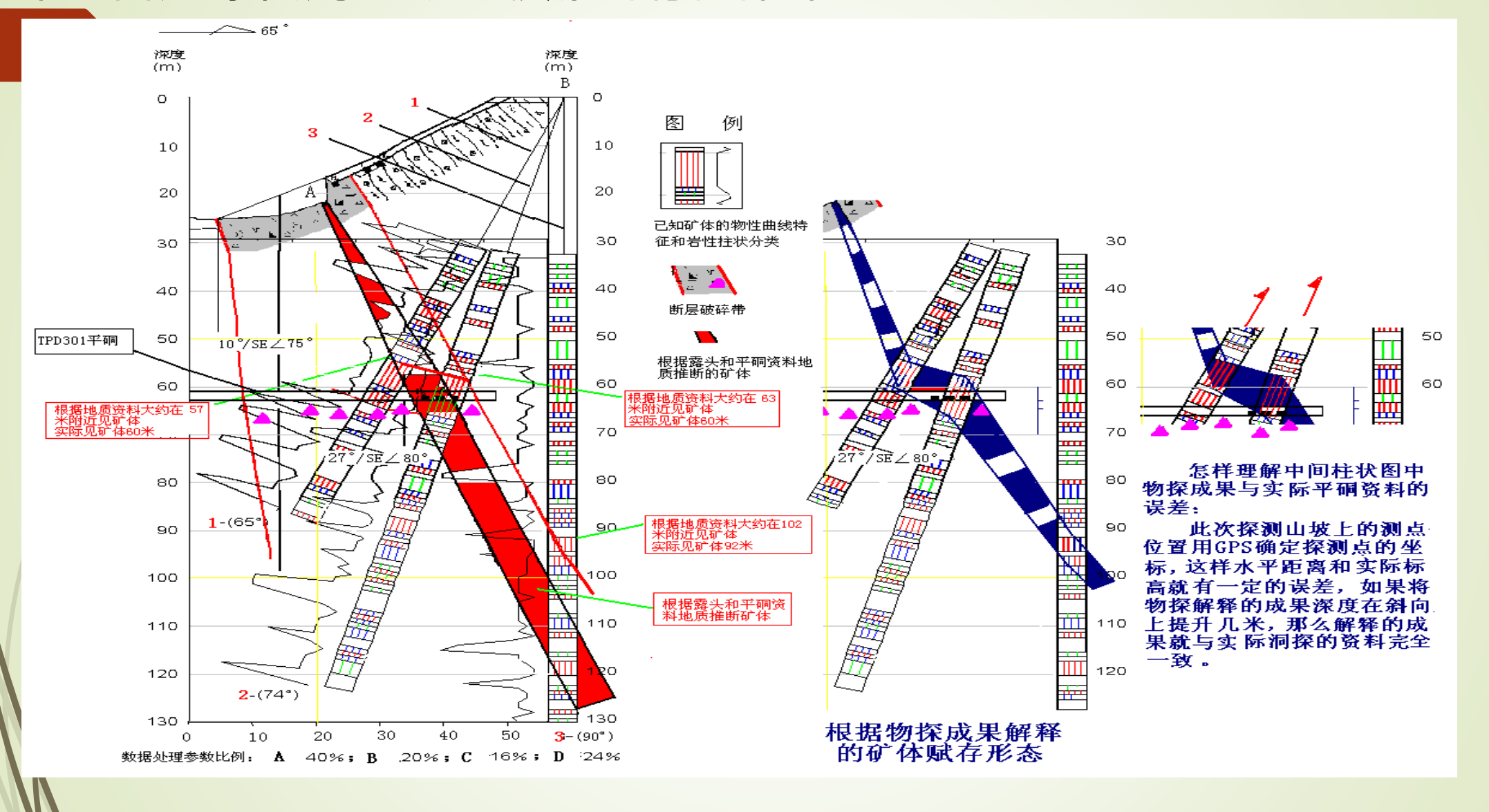
在東北探測有一定傾角磁鐵礦體剖面圖



在東北探測磁鐵礦體剖面圖

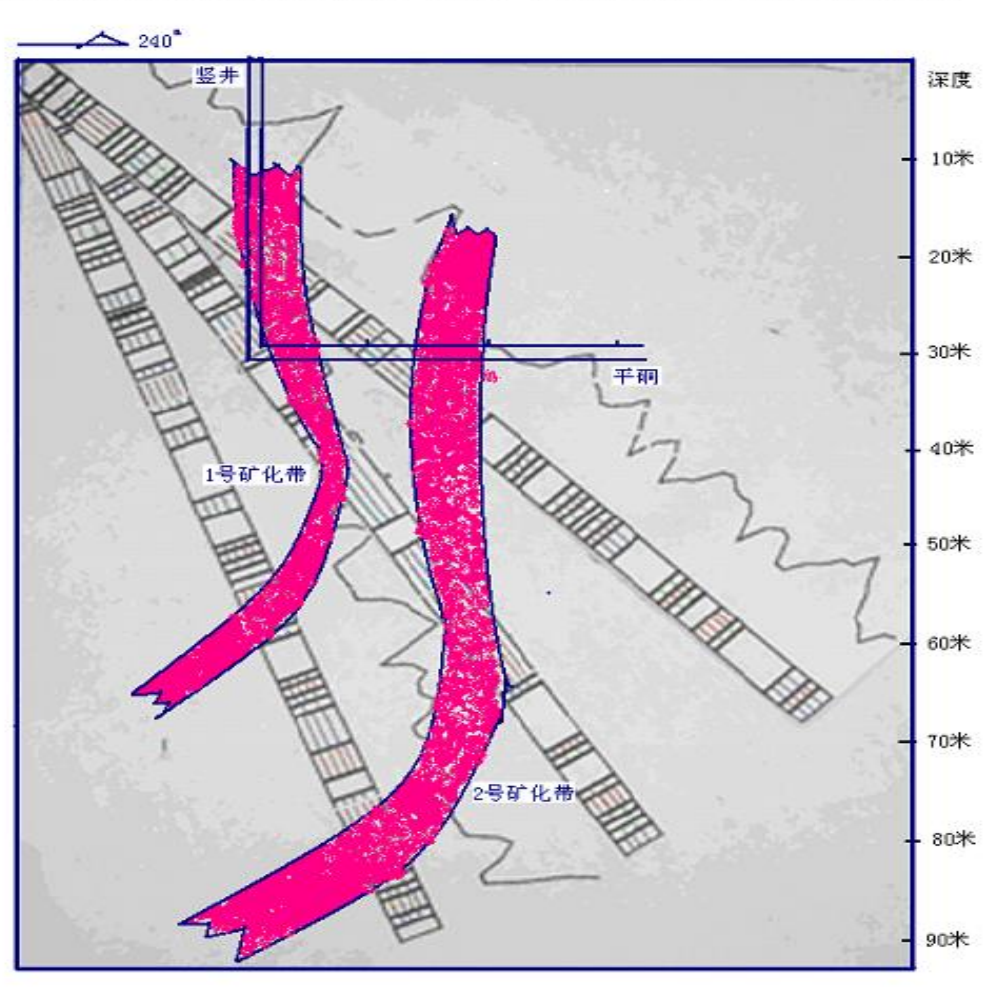


在福建探測金屬礦體剖面圖



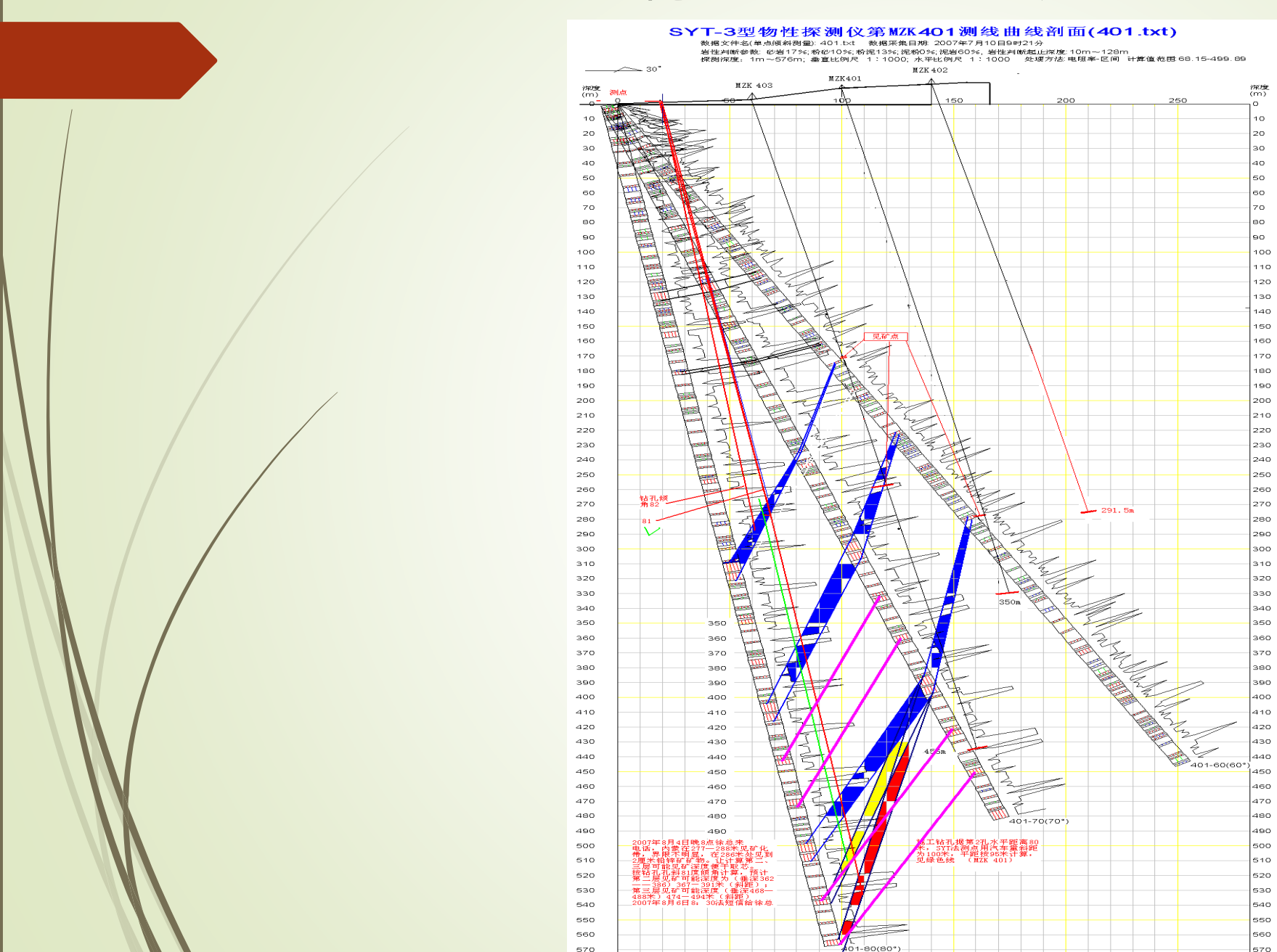
在內蒙探測金屬礦(鉛銅)剖面圖

内蒙古自治区扎鲁特旗 超浩尔图铜银多金属矿区 6 号点 SYT 法勘查剖面图

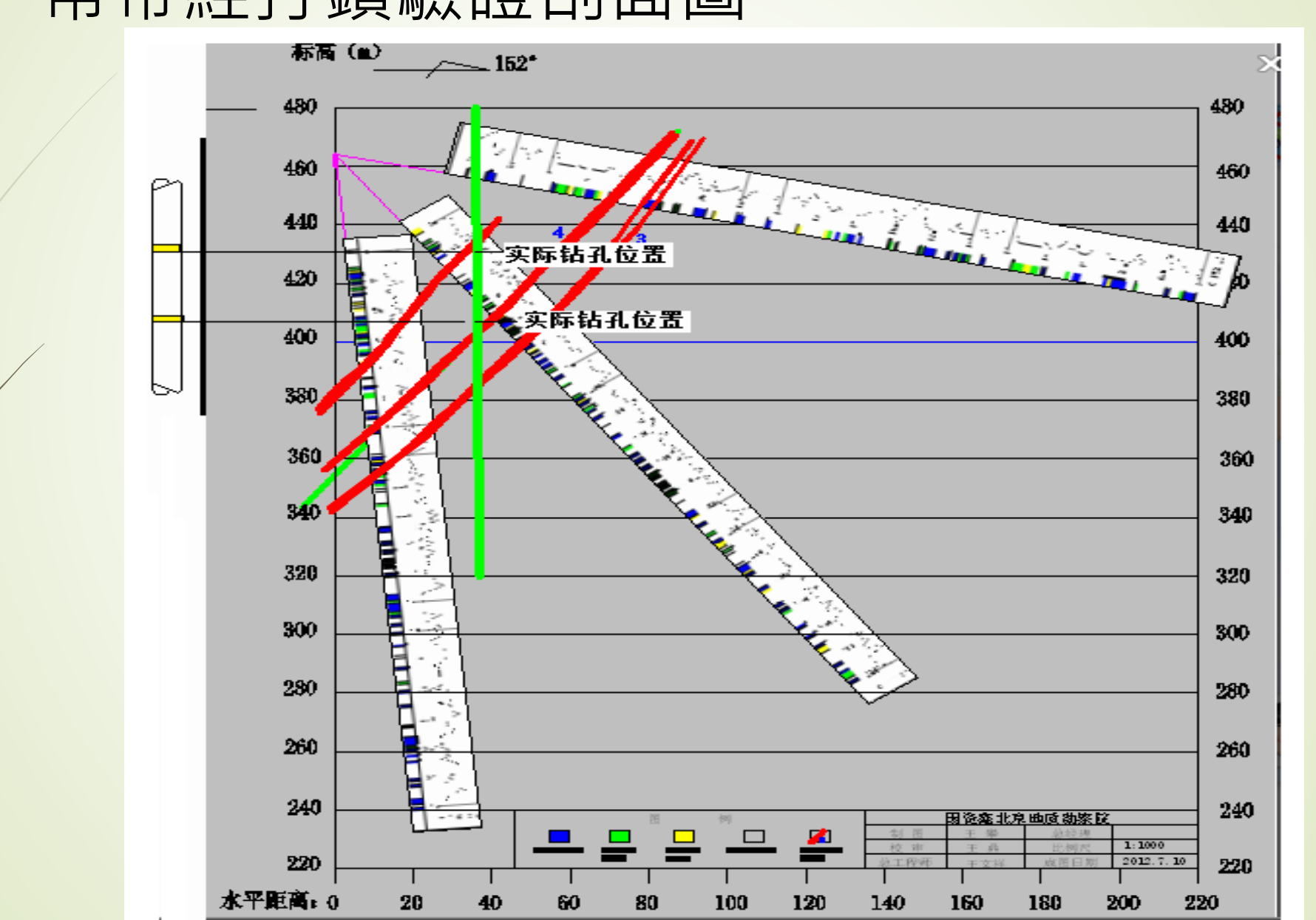


2006年5月,在内蒙古自治区扎鲁特旗超浩尔图铜银多金属矿区 利用 SYT 电磁波探测仪进行了试验性找矿工作。在6号点进行了放射 状测量,结果发现了两个隐伏的矿化蚀变带。经7月份硐探验证,两 个矿体均出现了1.5米厚的工业矿体,铜含量达到10%以上。

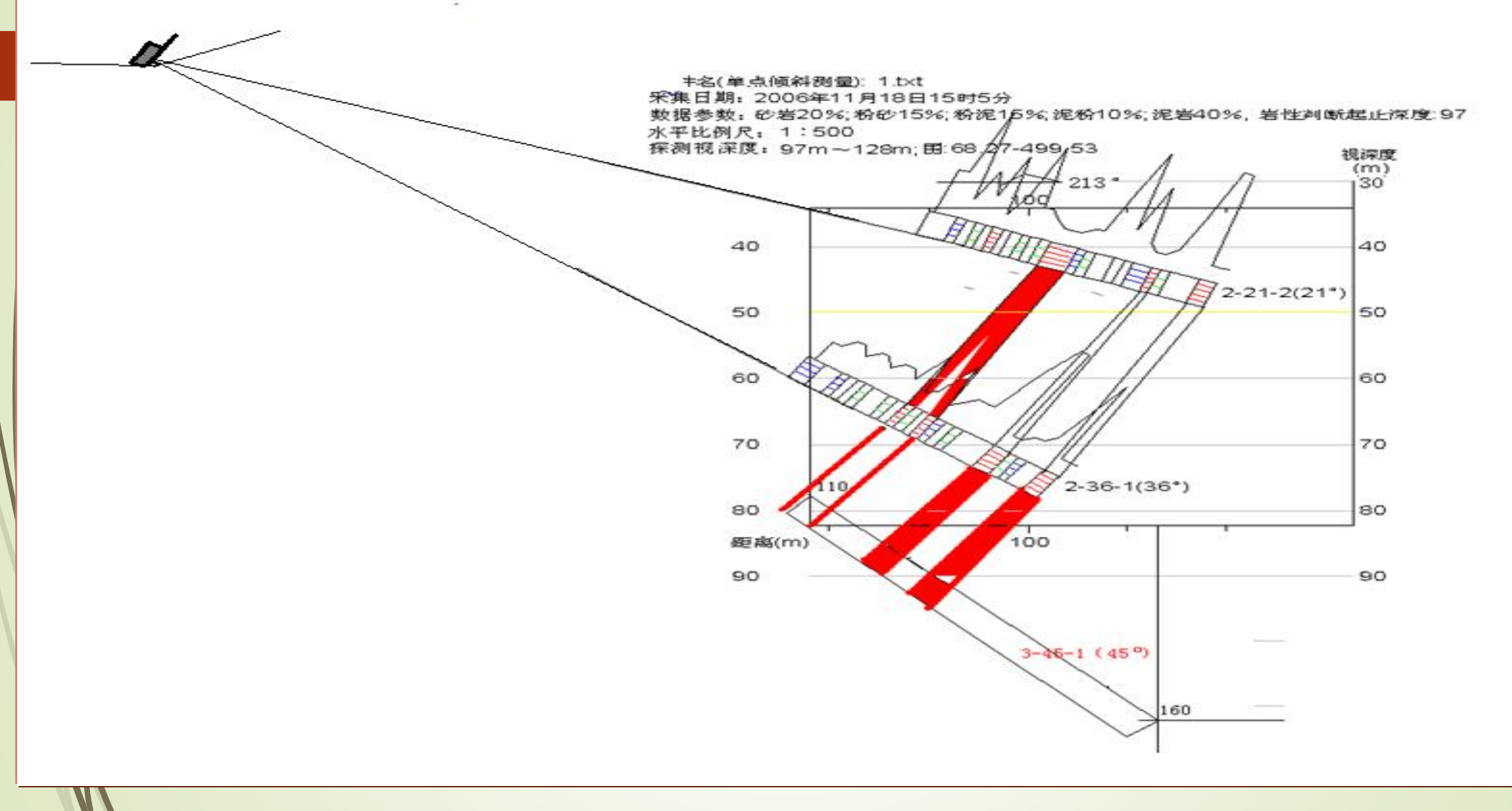
在內蒙錫林浩特探測鉛鋅礦的過程和驗證情況



湖南黃貓頭礦SYT法探測可疑含金礦化異常帶經打鑽驗證剖面圖



河北丰宁县哈拉海湾村水泉沟1号金矿SYT法勘探剖面

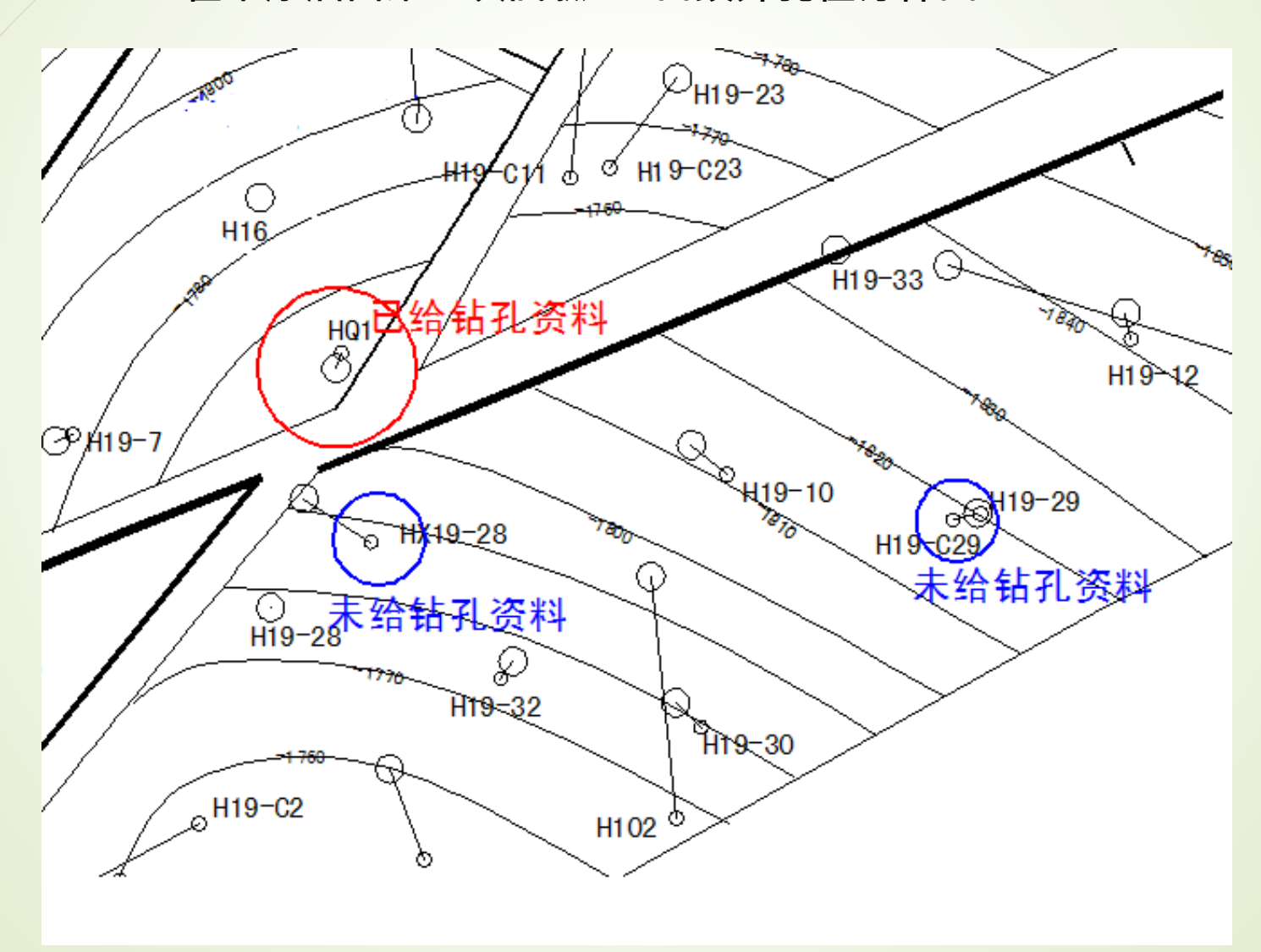


3.石油 (探勘的實務案例)

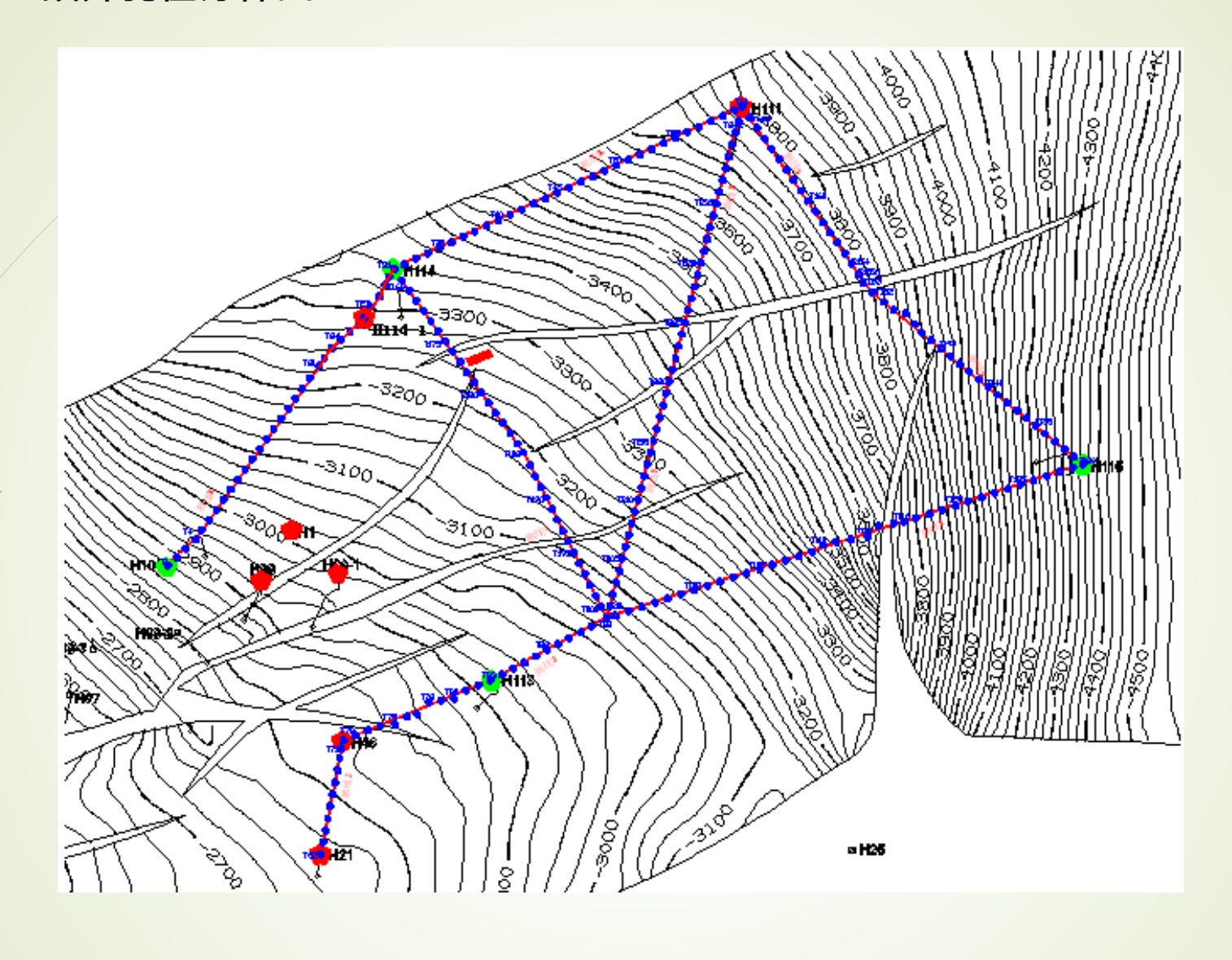
- 1.中原油田
- 2.大慶採油七探測
- 3.陝北勞山-川口探區
- 4.子長油礦舊井油層
- 5.子北油礦2013油井
- 6.大港油田
- 7.南黄海0-3360m深度段

1.中原油田

在中原油田第一次試驗,3口鑽井孔位分佈圖

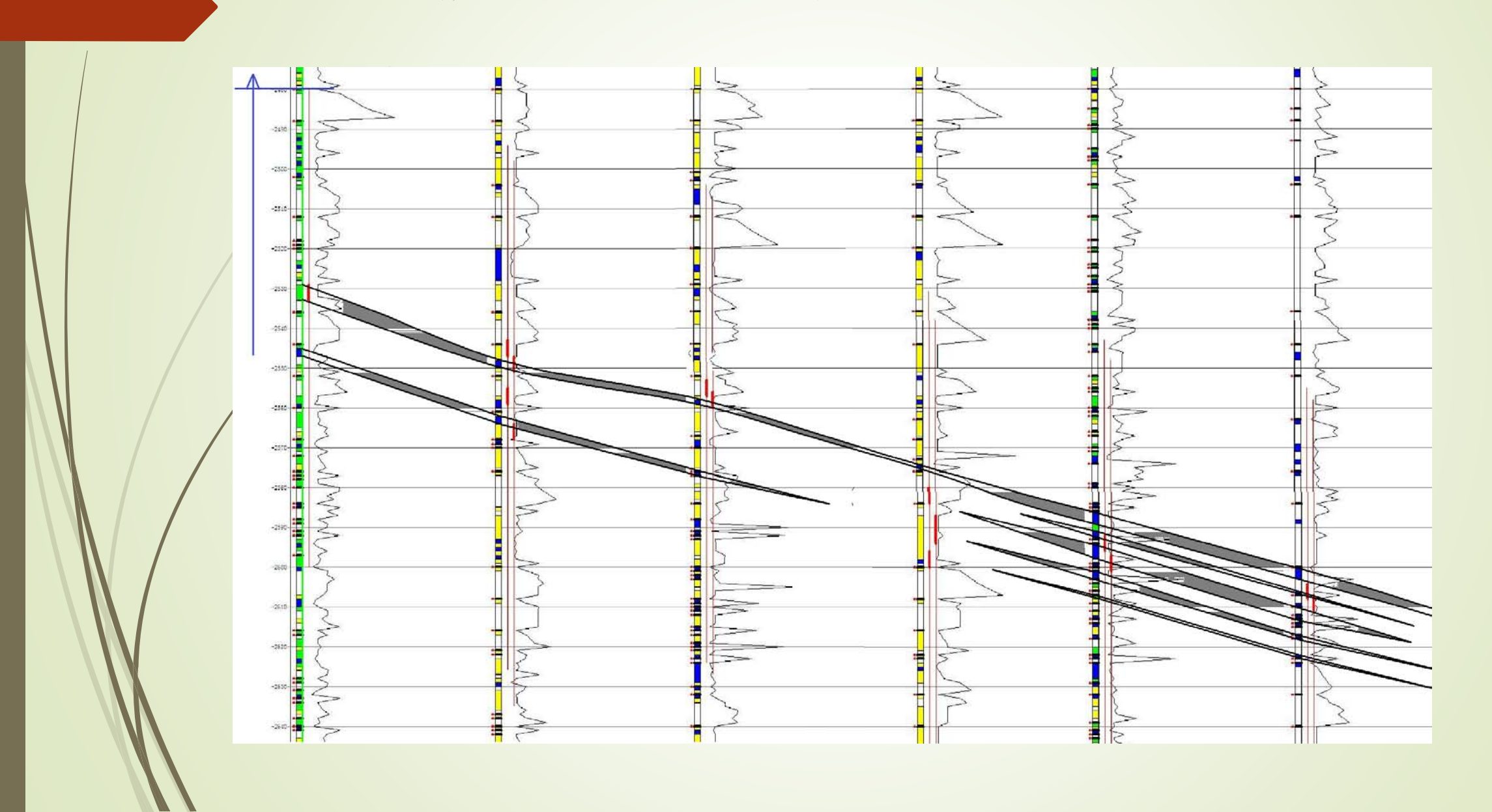


鑽井孔位分佈圖

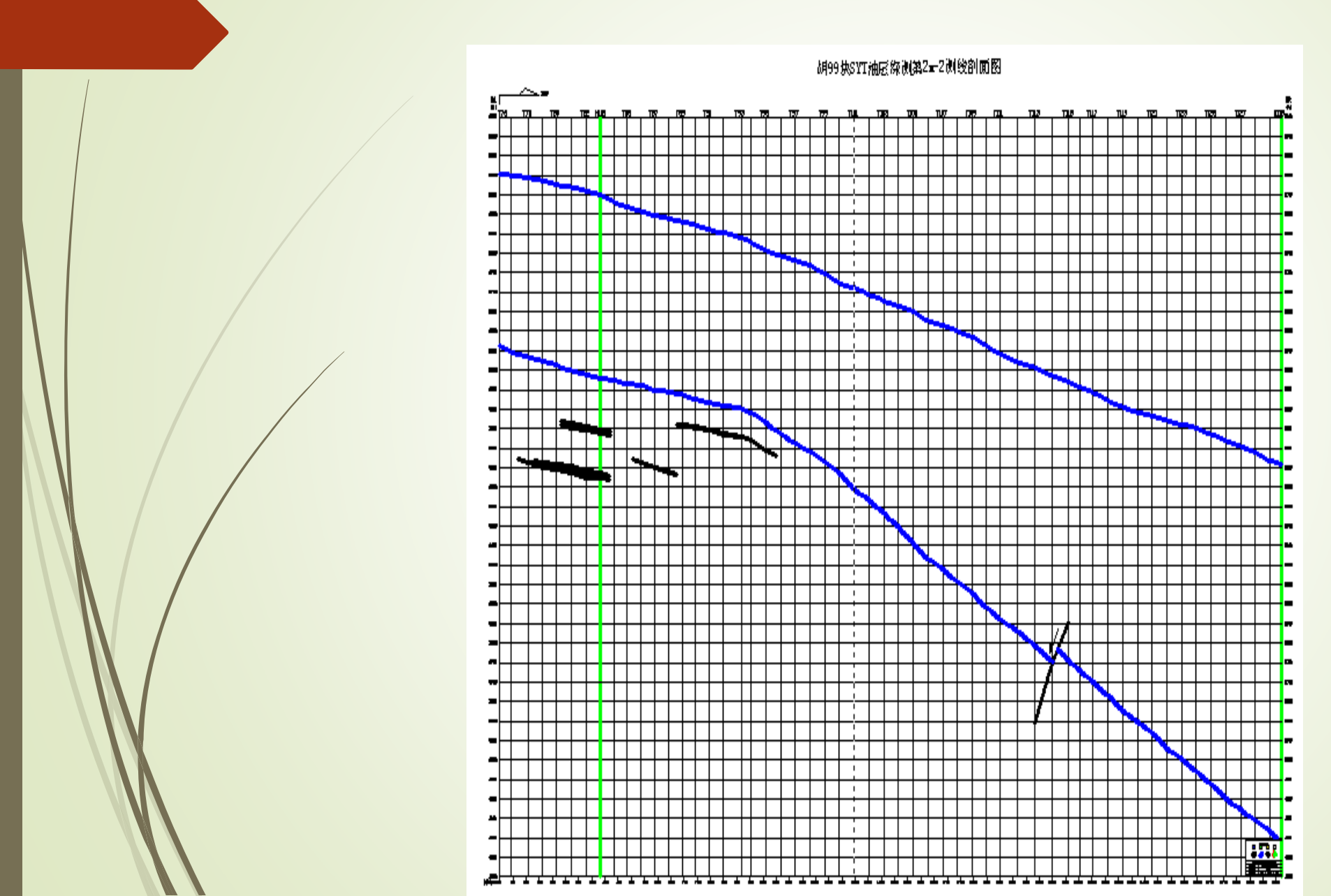


SYT法探測測線施工平面圖

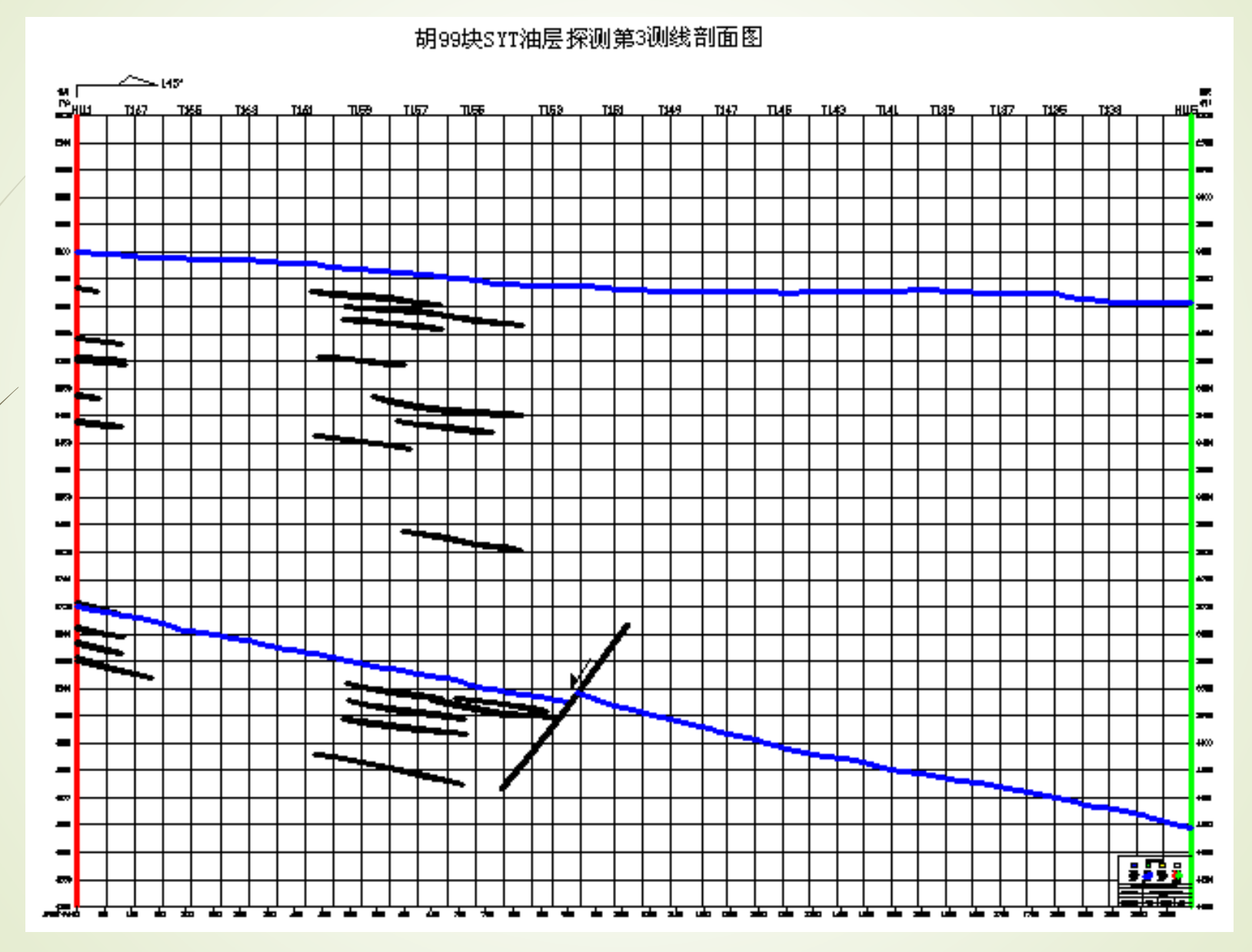
第1測線開始油層判釋圖



第2測線剖面圖



第3測線剖面圖



7口油井找油情況

钻孔	油层、差油层、油迹层识别吻合率							
Н99	90%							
Н99-1	60%							
H1	无油吻合							
H114-1	62. 5%							
H111	66. 7%							
H21	21%							
H46	64. 3%							

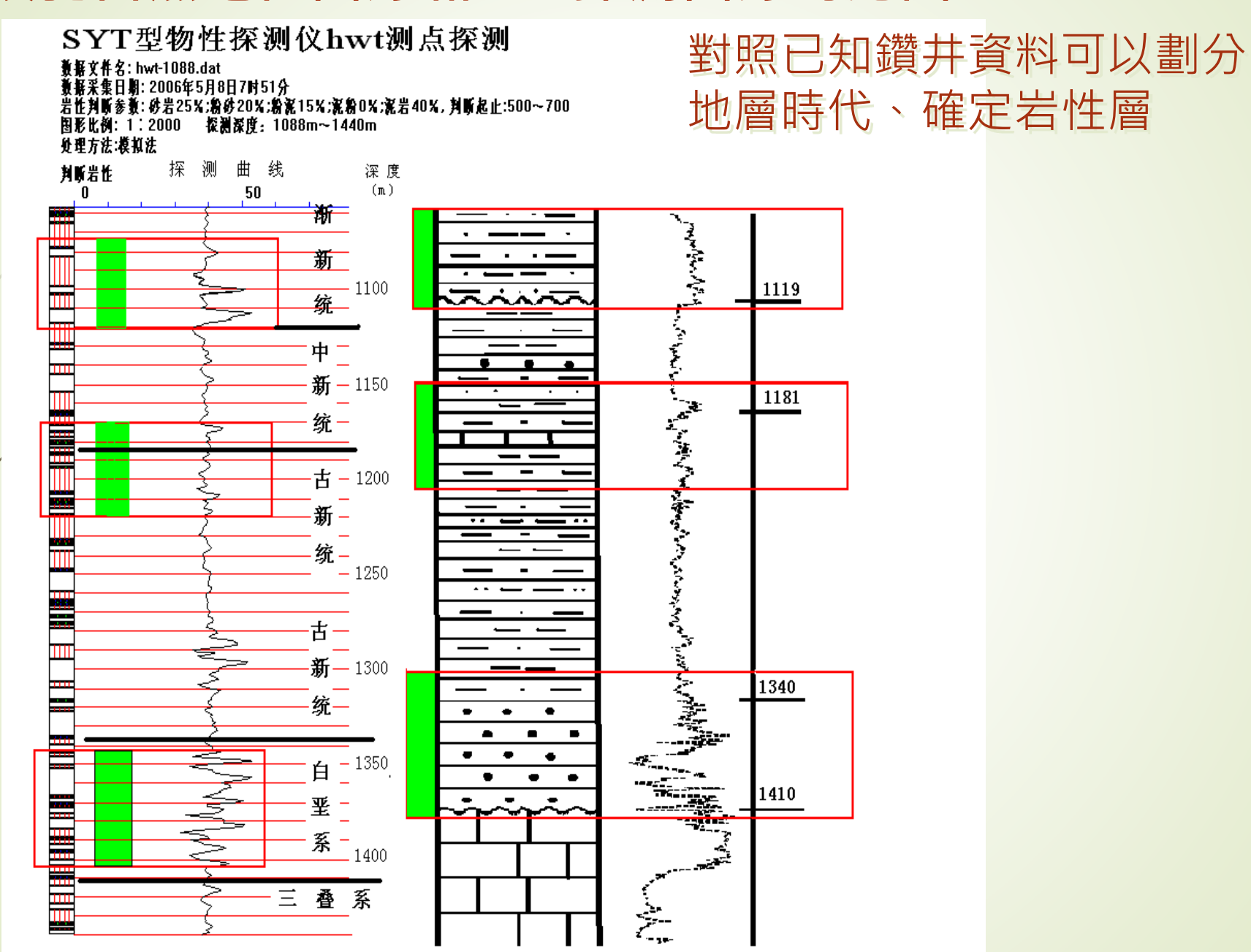
指導5口油井打鑽先後順序與該井出油率對比情況

3层	27m	第一选择	出油率好
3层	11m	第四选择	出油率较差
4层	12m	第五选择	出油率最差
4层	13m	第三选择	出油率差
3 层	27m	第二选择	出油率较好
	3 层 4 层 4 层	3 层 11m 4 层 12m 4 层 13m	3 层 11m 第四选择 4 层 12m 第五选择 4 层 13m 第三选择

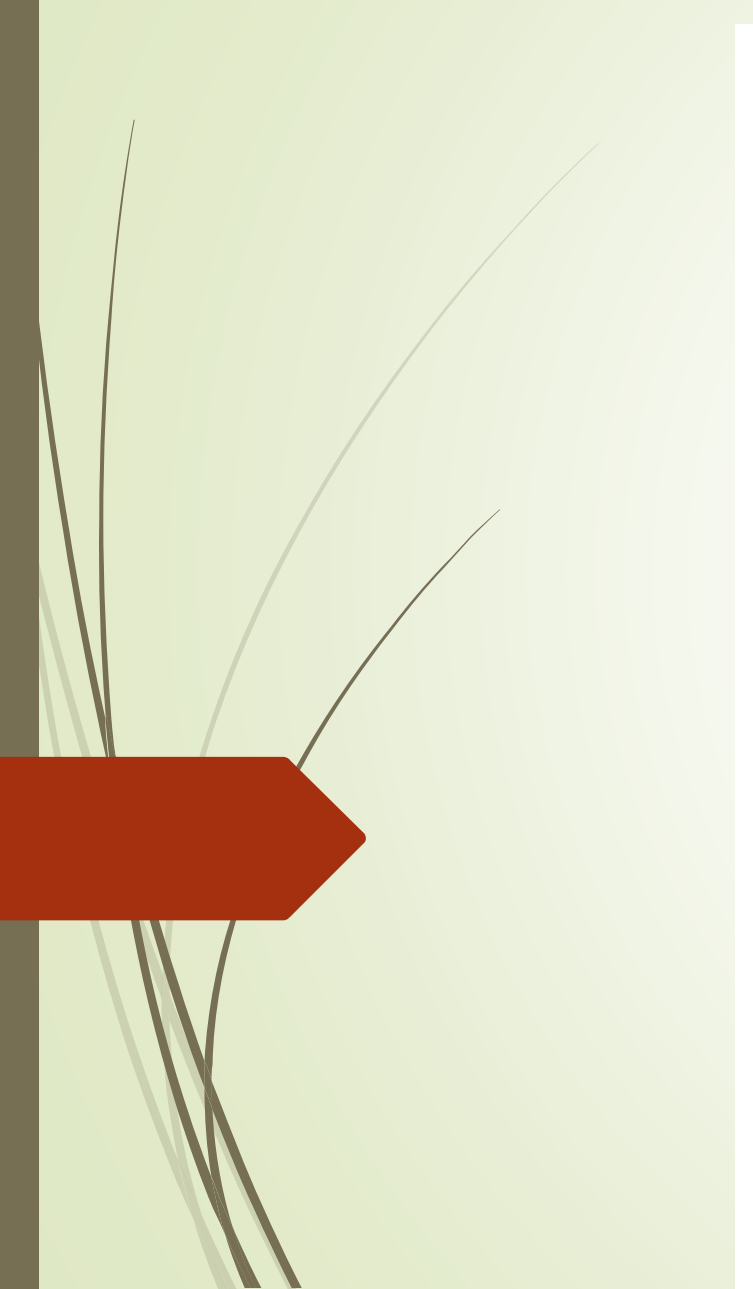
2口钻井油层现场验证结果

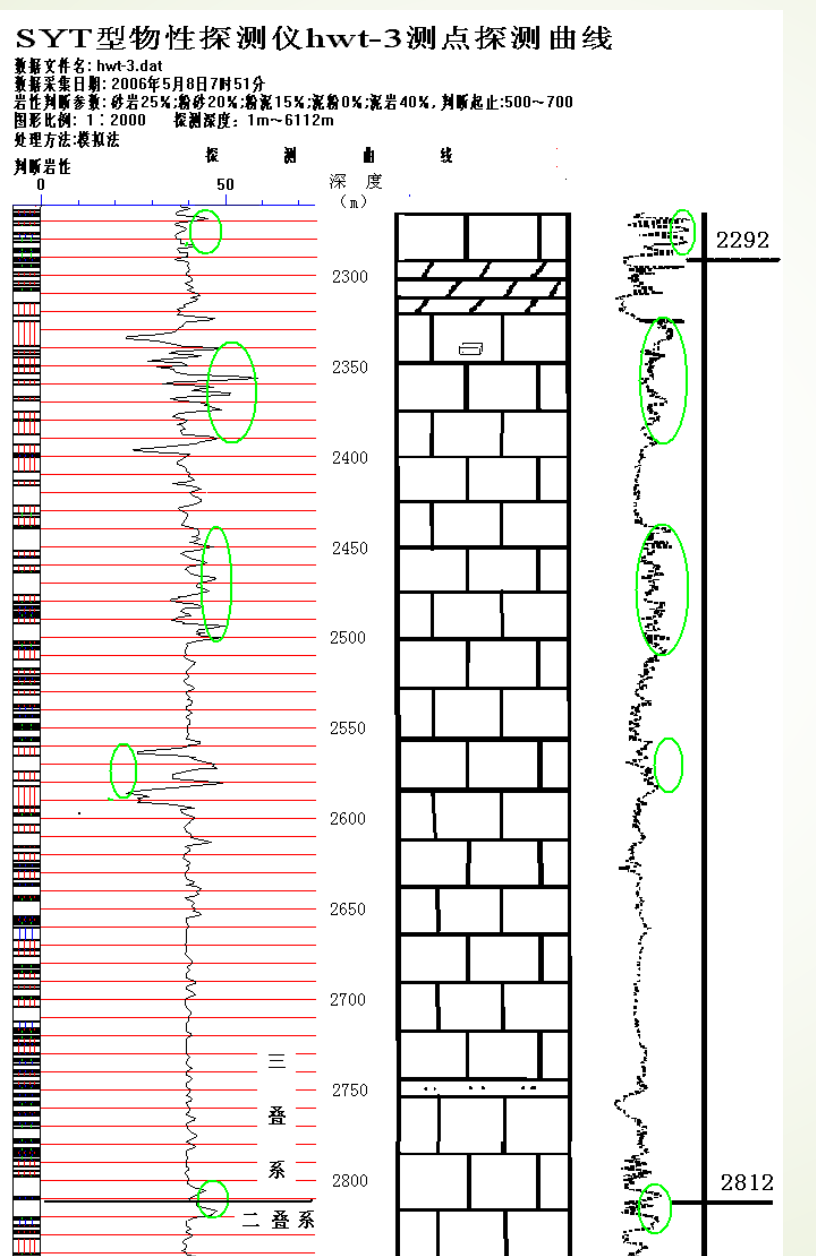
U = 1.5 E	钻探揭露油层			物探解译的油层			钻探揭露的	物探解译	
钻孔编号₽	层数	深度:	厚度	层数	深度:	厚度	油层赋存深 度段₽	的油层赋 存深度段₽	
		1759₽	2₽	3∻	1757₽	2₽	1759–1815₽	1720–1800₽	
		1768₽	2₽		ţ.	₽			
H19−29₽	·5	1772₽	2₽		1771₽	1₽			
		1780₽	4.0		1790₽	2↩			
		1810₽	5€		47	₽			
		1777₽	3₽	4 ₽ .	1768₽	4.₽		1760-1820↵	
Н19−28₽	.6	1784₽	4.₽		1789₽	8₽			
		1791₽	2₽		47	₽	1770–1820₽		
		1800₽	4.₽		1808₽	1₽	1770-1820		
		1809₽	5₽_		47	₽			
		1817₽	2₽		1816₽	10₽			
		1750₽	5₽		1747₽	3 ₽		9÷ 1747–1789÷	
HQ−1₽		1761₽	2₽		1760₽	1€]		
		1770₽	3₽		1771₽	3 ₽	1750-1789-		
		1774₽	1₽		1773₽	1₽			
		1786₽	2₽		1789₽	2₽			

鑽孔自然電位曲線和SYT探測曲線對比圖



鑽孔自然電位曲線和SYT探測曲線對比圖

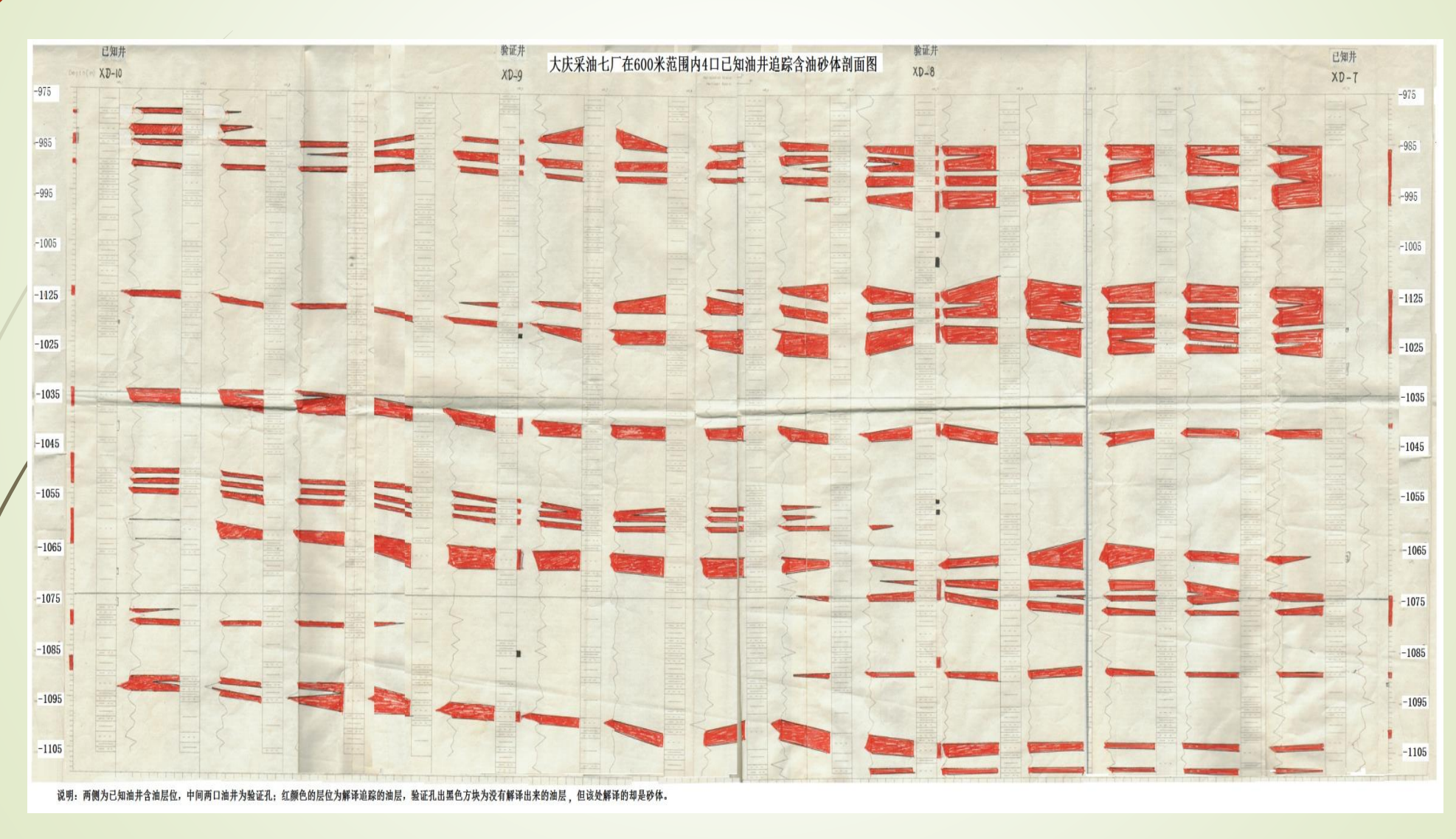




對照已知鑽井資料可以劃分地層 時代、確定灰岩中裂隙、岩溶發 育帶

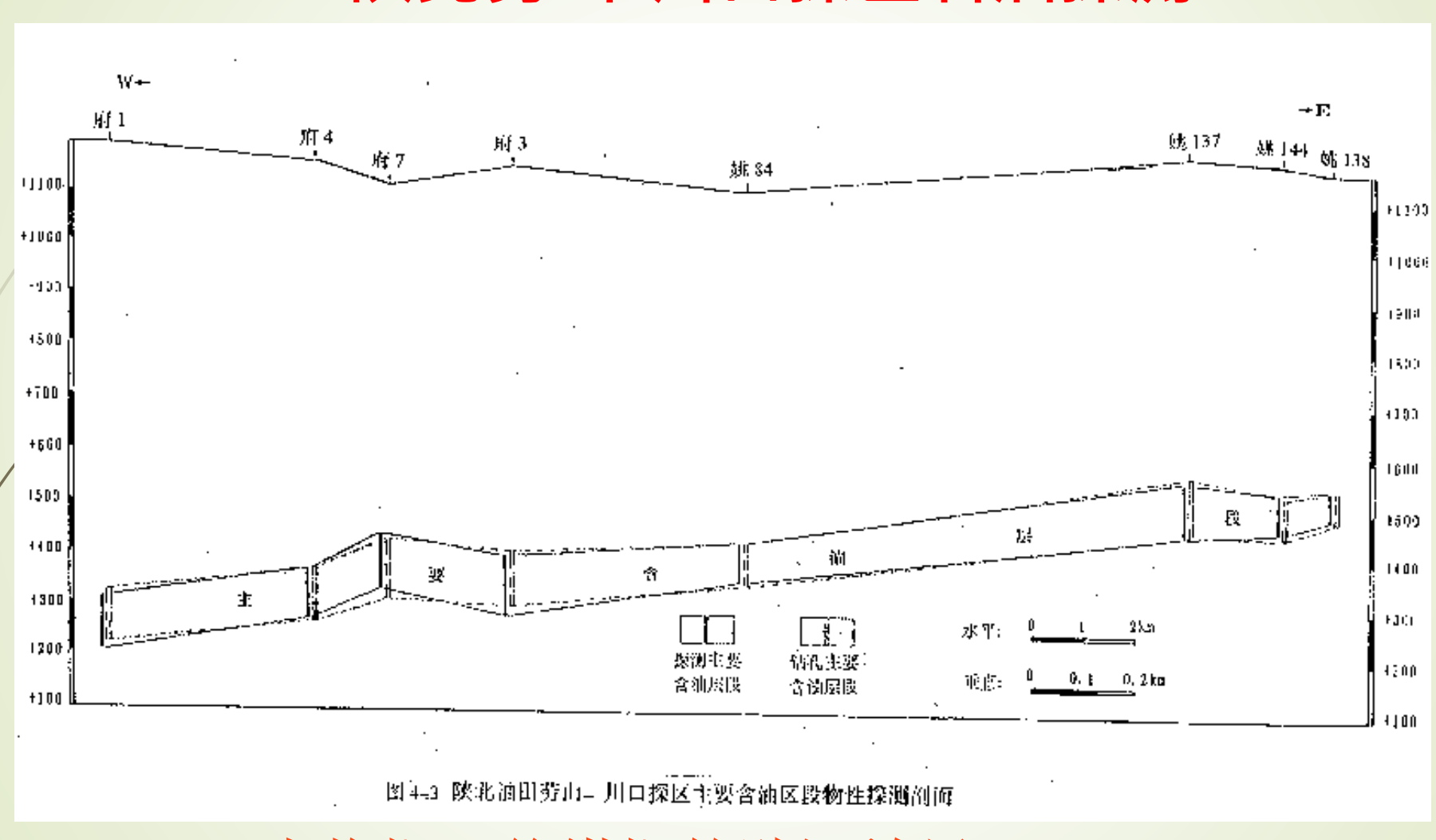
2.大慶採油七探測

大慶採油七探測油層試驗驗證結果廠



3.陝北勞山-川口探區

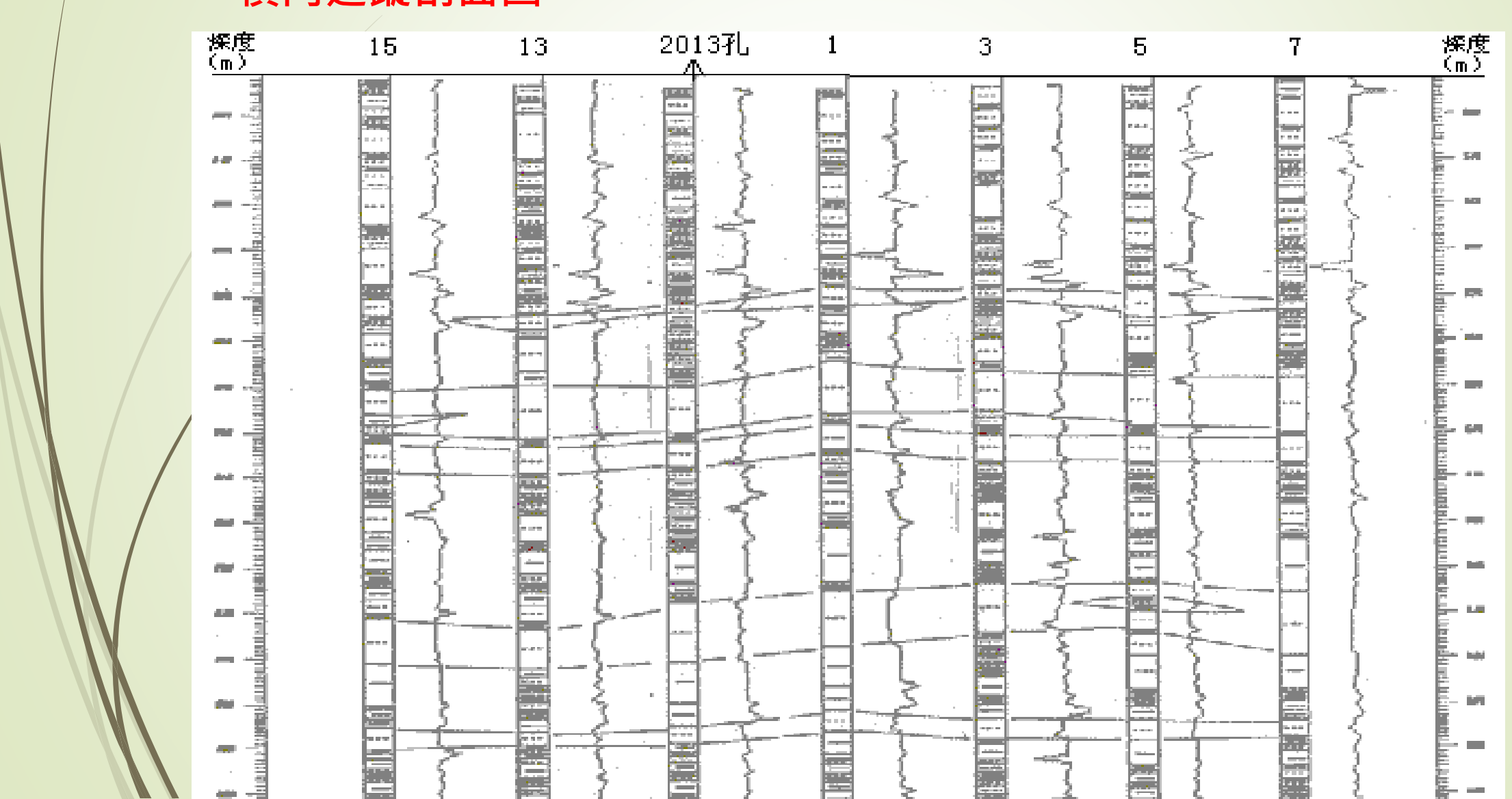
陝北勞山-川口探區石油探測



先物探、後鑽探的驗證效果

4. 子長油礦舊井油層

子長油礦舊井挖潛改造當年產量翻一番,子長油礦舊井油層橫向追蹤剖面圖



SYT法探测柱状 轮南LN18井SYT法物探成果

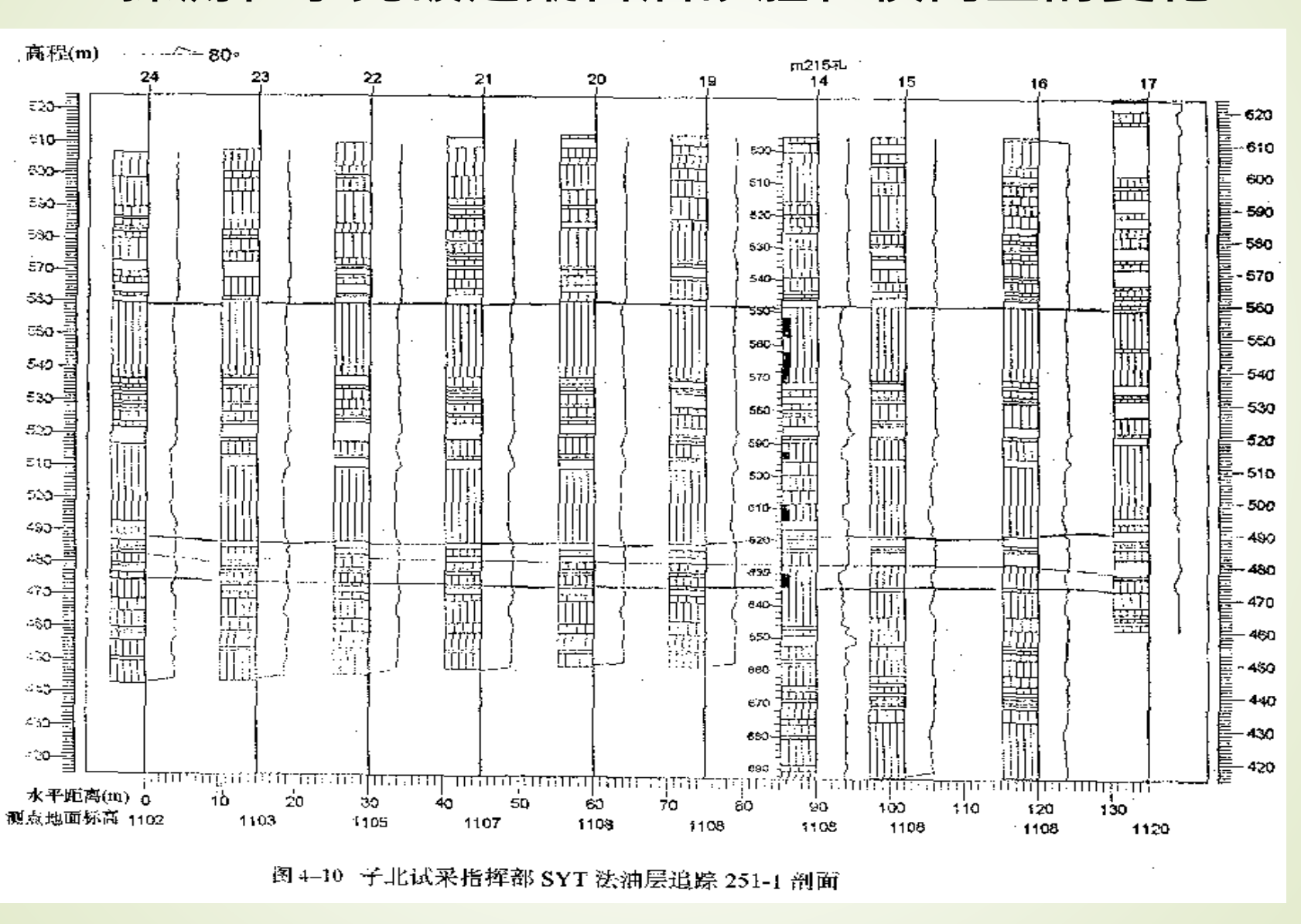
塔里木油田

石油探測成果

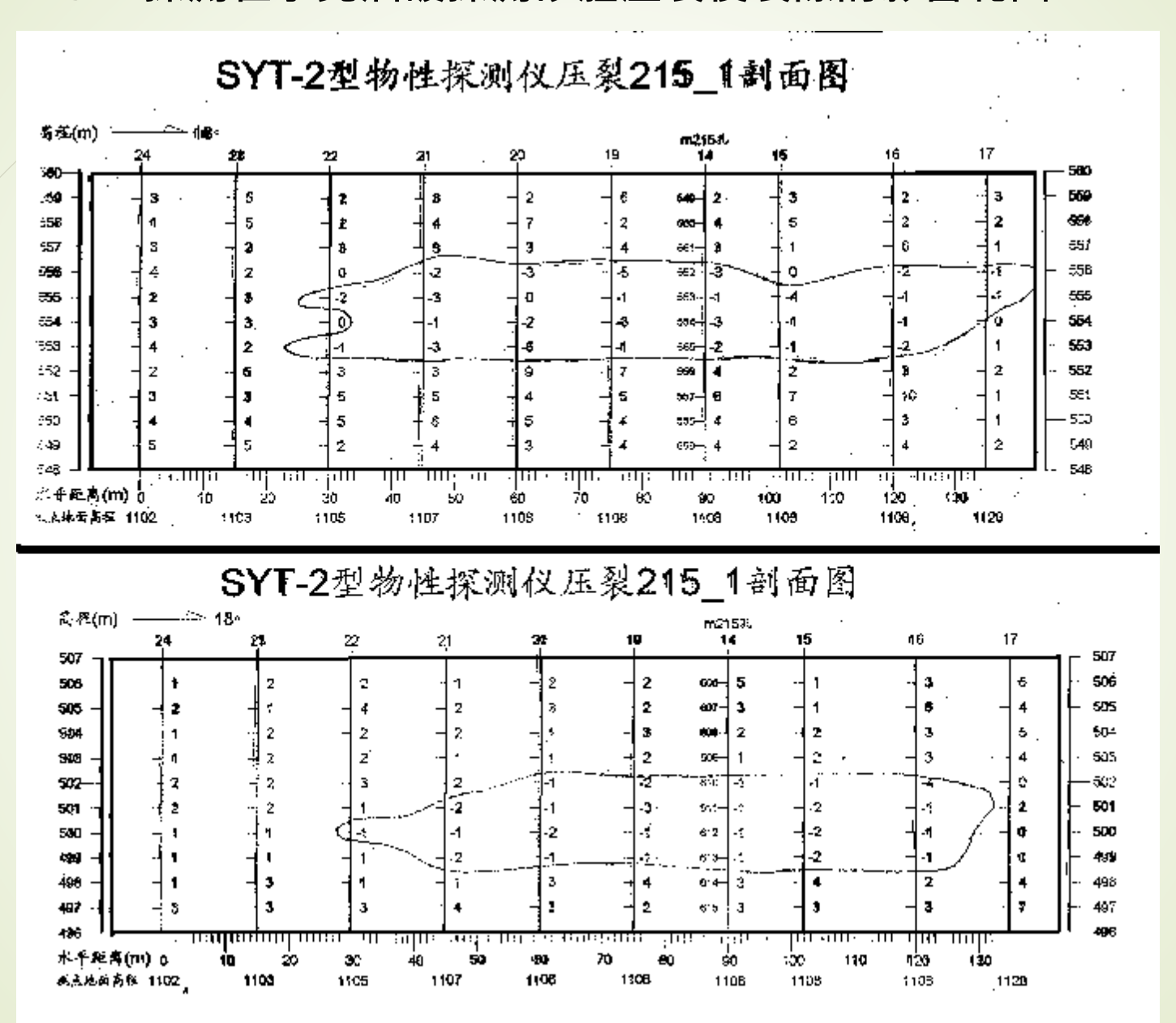
對氣層的判斷與鑽孔資料揭露的一致, 5700多m深的奧灰頂介面埋深鑽孔與物探成 果誤差17m。開始儀器設計10000米後來進 入到油田,發現沒有這個深度的鑽孔,從2 型儀器開始將深度改為6100m。

5.子北油礦2013油井

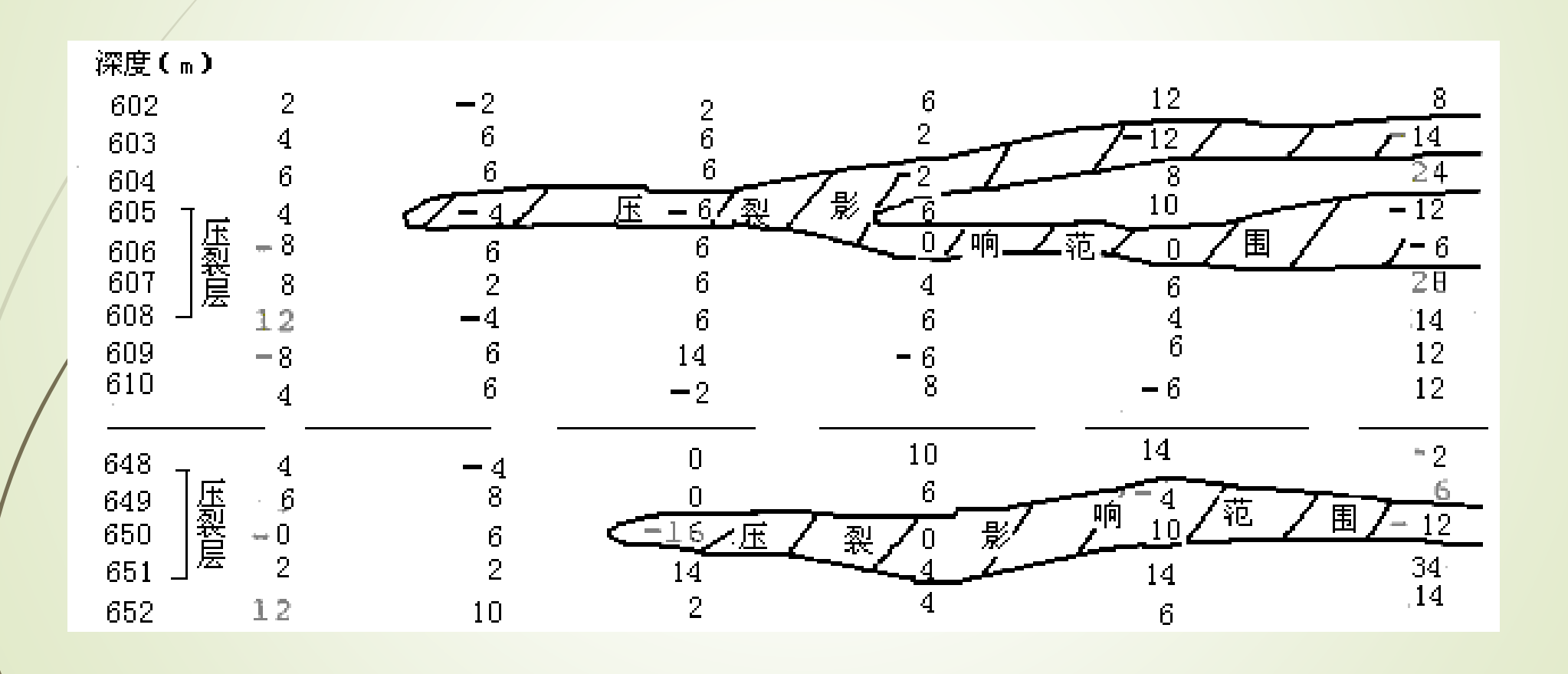
SYT探測在子北礦追蹤含油砂體在橫向上的變化



SYT探測在子北油礦探測砂體壓裂後裂隙的影響範圍

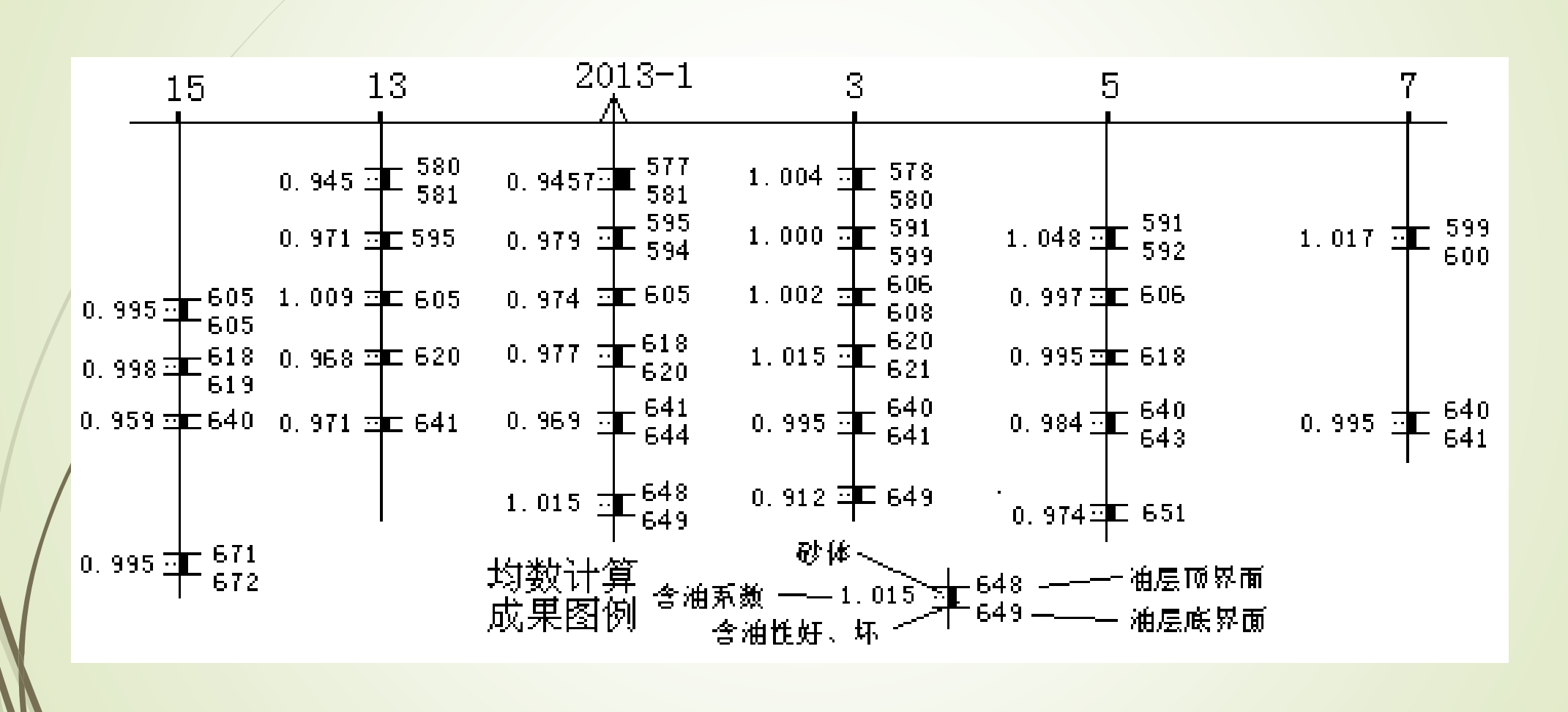


油層壓裂效果追蹤

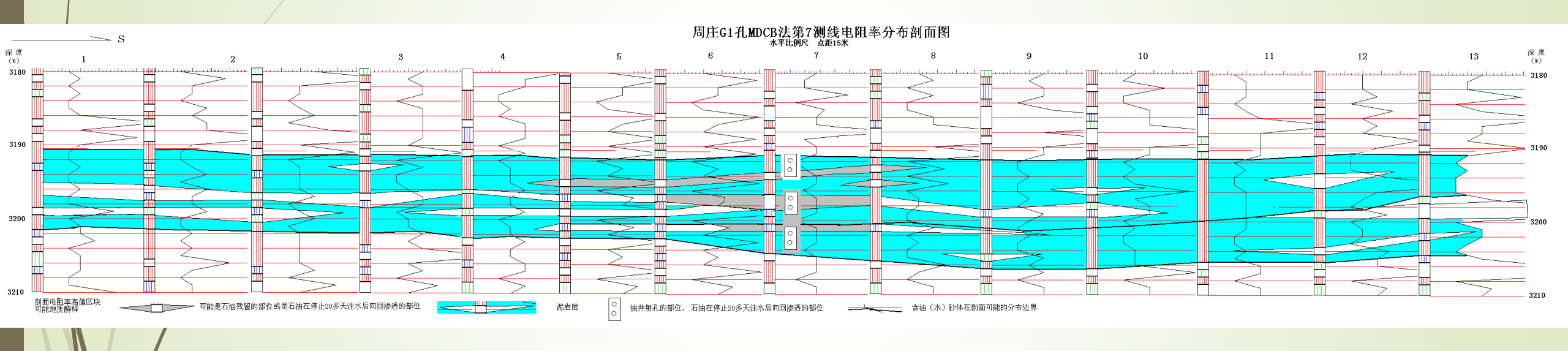


子北油礦2013油井某一測線均數計算各油層含油性好壞

的剖面圖



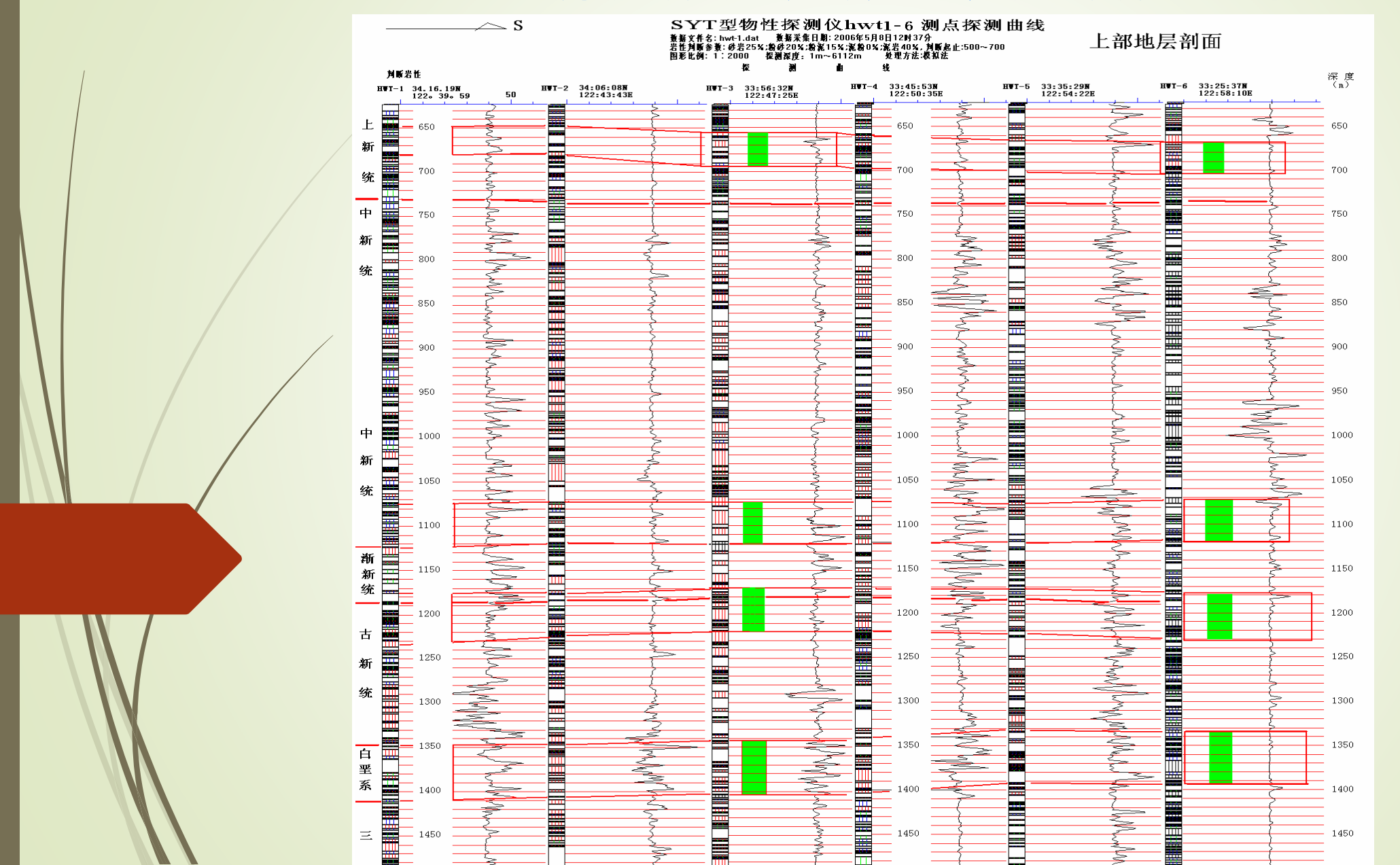
6.大港油田在大港油田追蹤含油砂體剖面



在大港油田追蹤含油砂體剖面



7.南黃海0-3360m深度段 南黃海0-3360m深度段內已知鑽孔附近油氣段剖面圖



■觀光坑道開發

以廢棄的礦坑可以在探勘了解坑道狀態 與礦石的殘留分布可重新規畫為觀光坑道





花蓮寶石礦-台灣軟玉的"賭石"

未來可以發展小興手持的探勘儀可以快速方便的檢核賭石 (可透視賭 時的內部成分)



(擦、切、磨)----透視!?

- (二)地熱探勘
- (三)地下水探勘
- (四)地質探勘與水保設施探勘
- (五)坑洞探勘
- (六)未來的山崩與地震前兆偵測

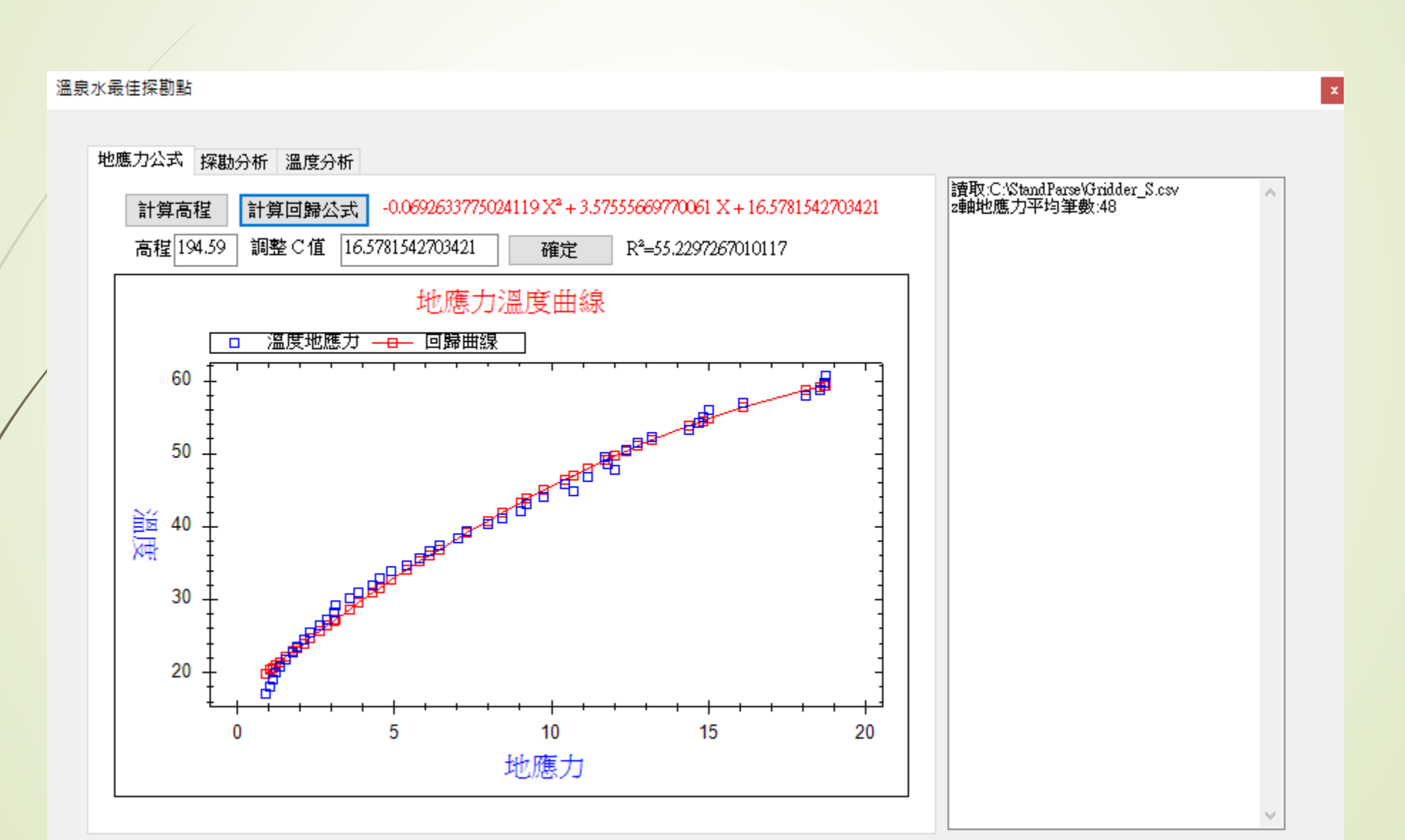
(二)地熱探勘-地熱探勘的程序

- 1. 確認地熱偵測是否伴隨地下水偵測。
- 2. 確認地勘範圍、深度、精度、密度、與載具,規劃測線與測點。
- 3. 蒐集背景資料(地質與地熱)、監測的地徵資料。
- 4. 進行探勘。
- 5. 展繪探勘資料。
- 6. 分析、推算地熱及判釋地下水資料。
- 7. 驗證地熱與地下水資料。
- 8. 報告。

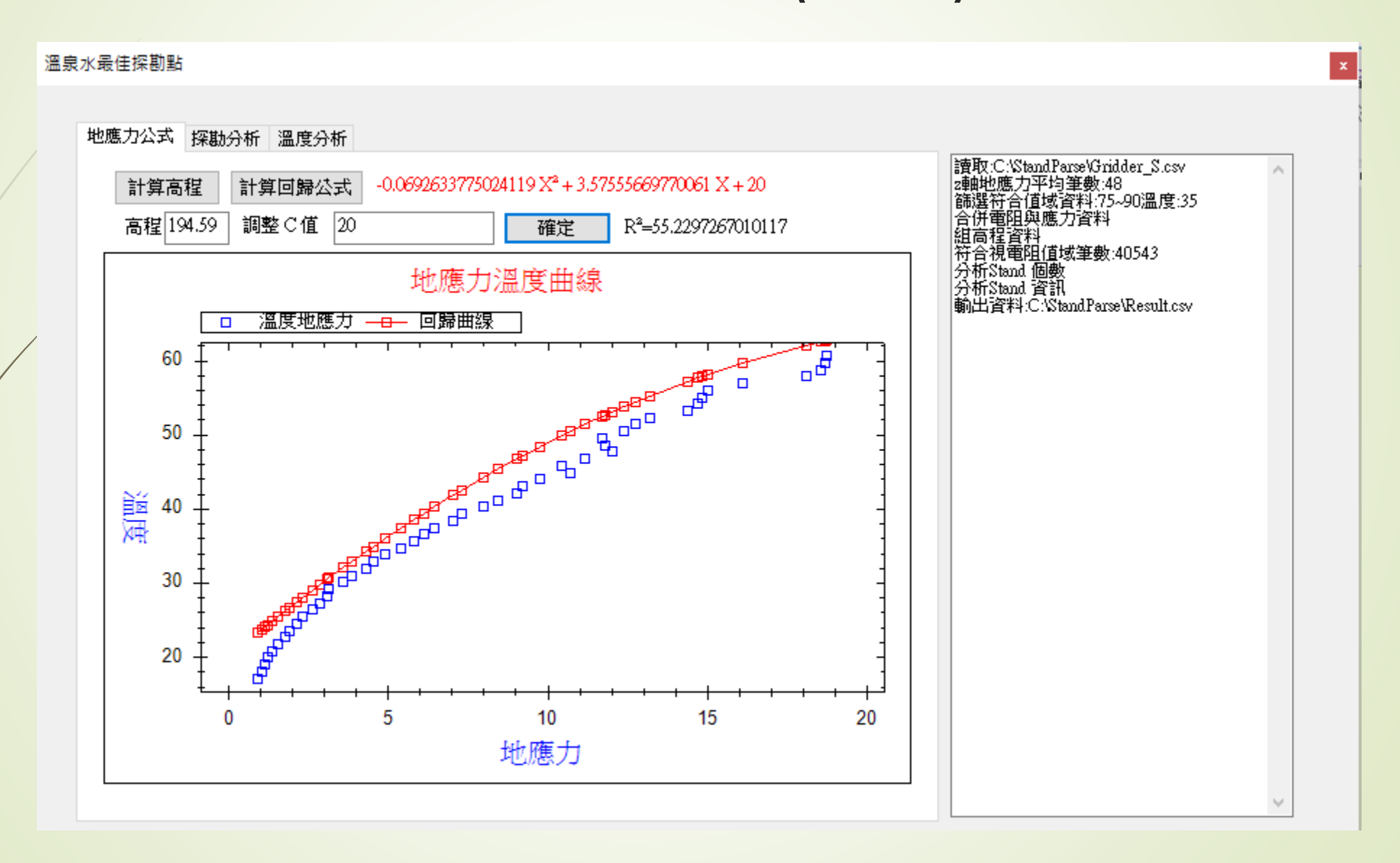
規劃探測計畫(設計探測線與測點分布)試辦區溫泉監測井資



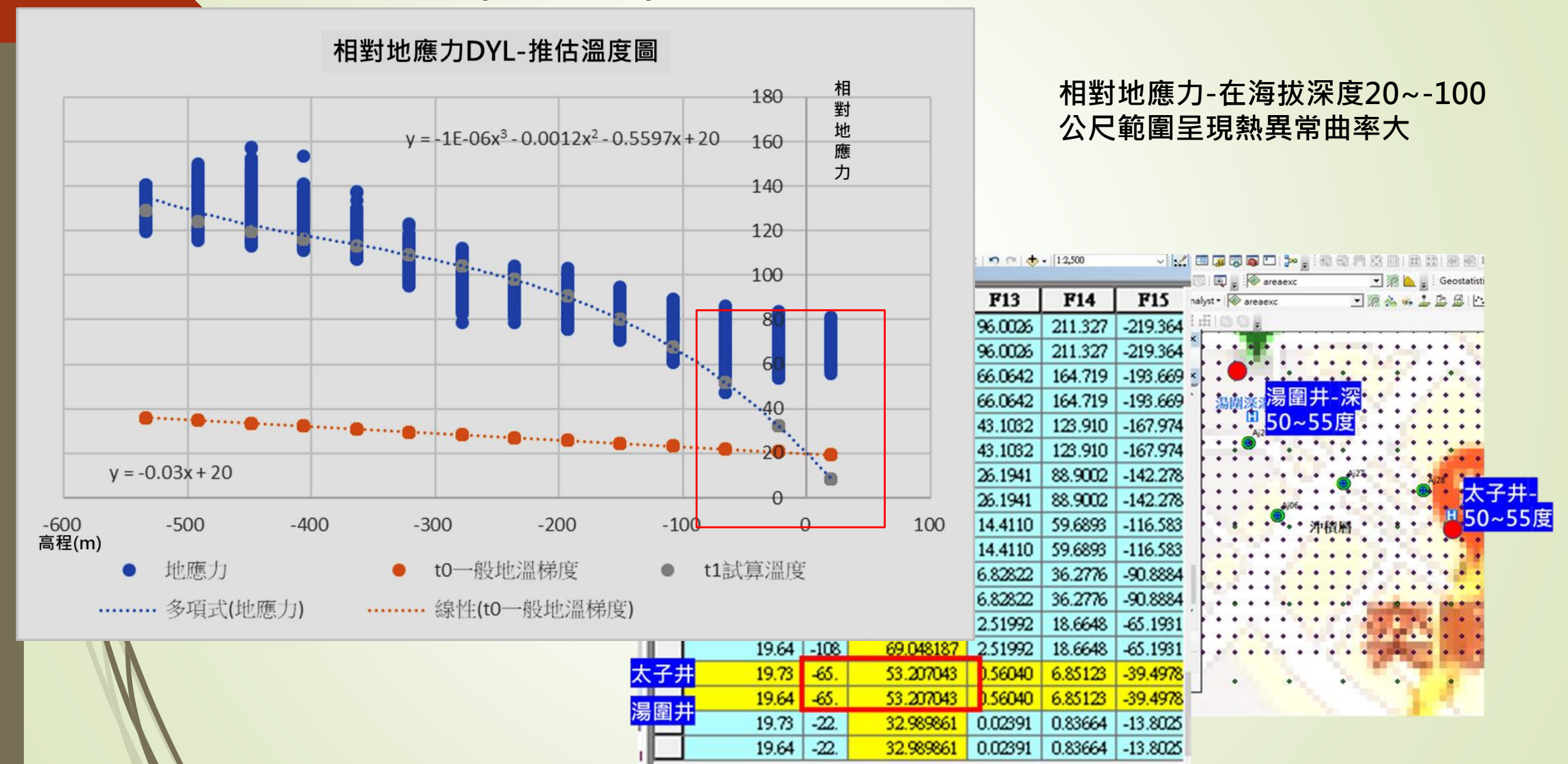
地層內地質地應力強弱推算地下溫度地應力推算的地溫資料回歸公式



地方控制井調整回歸曲線(位移)



地熱統計(分佈)



驗證:地熱監測資料的驗證(監測井資料)

編號	NO	NAME	X67	Y67	井頂M	井深M	監測深度	監測高程
1	JS002	遊客中心	327607	2747494	12.37	151	8	4. 37
2	JS003	停車場深	327589	2747218	9.3	100	8	1.3
3	JS003	停車場淺	327589	2747218	9.3	25	5. 15	4. 15
4	JS003-1	公園	327350	2747258	11.4	100	8	3.4
5	JS007	福崇寺	326960	2747268	15. 76	131	井口	井口
6	JS005	香檳	327220	2747320	18	60	6. 9	11.1
7	/ JS011	奇利丹深	328315	2746601	7.6	100	5. 17	2. 43
8	JS011	奇利丹淺	328315	2746601	7.6	25	5	2.6
9/	JS010	大排深	327650	2746950	5.69	80	10	-4. 31
10	JS010	大排淺	327650	2746950	5.62	20	5	0.62
11	JS012	新小深	326924	2746361	12.86	80	10	2.86
12	JS012	新小淺	326924	2746361	12.87	20	10	2.87
/ 13	JS015	大忠路	326440	2746750	24. 01	60	20	4. 01
14	R001	湯圍淺	326999	2747184	12.84	44	9.5	3. 34
15	R002	湯圍深	326999	2747184	12.88	83	9.5	3. 38
16	R003	太子	327171	2747099	9. 18	60	10	-0.82

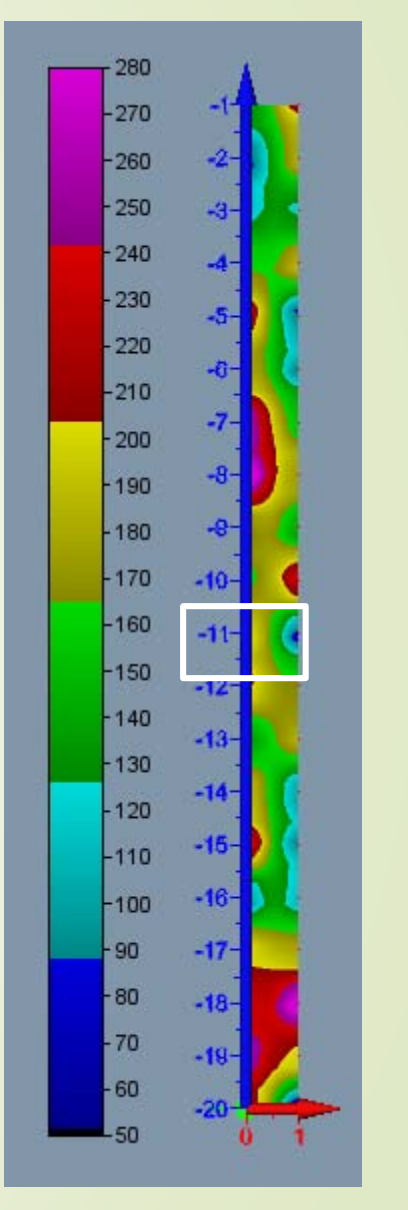
15號(湯圍溝)溫泉井溫度(106/10)&地應力

15號(湯圍溝)溫泉監測井 75 -10 -20 -70 **──**地應力 **──**井溫

溫泉井水位&地電阻

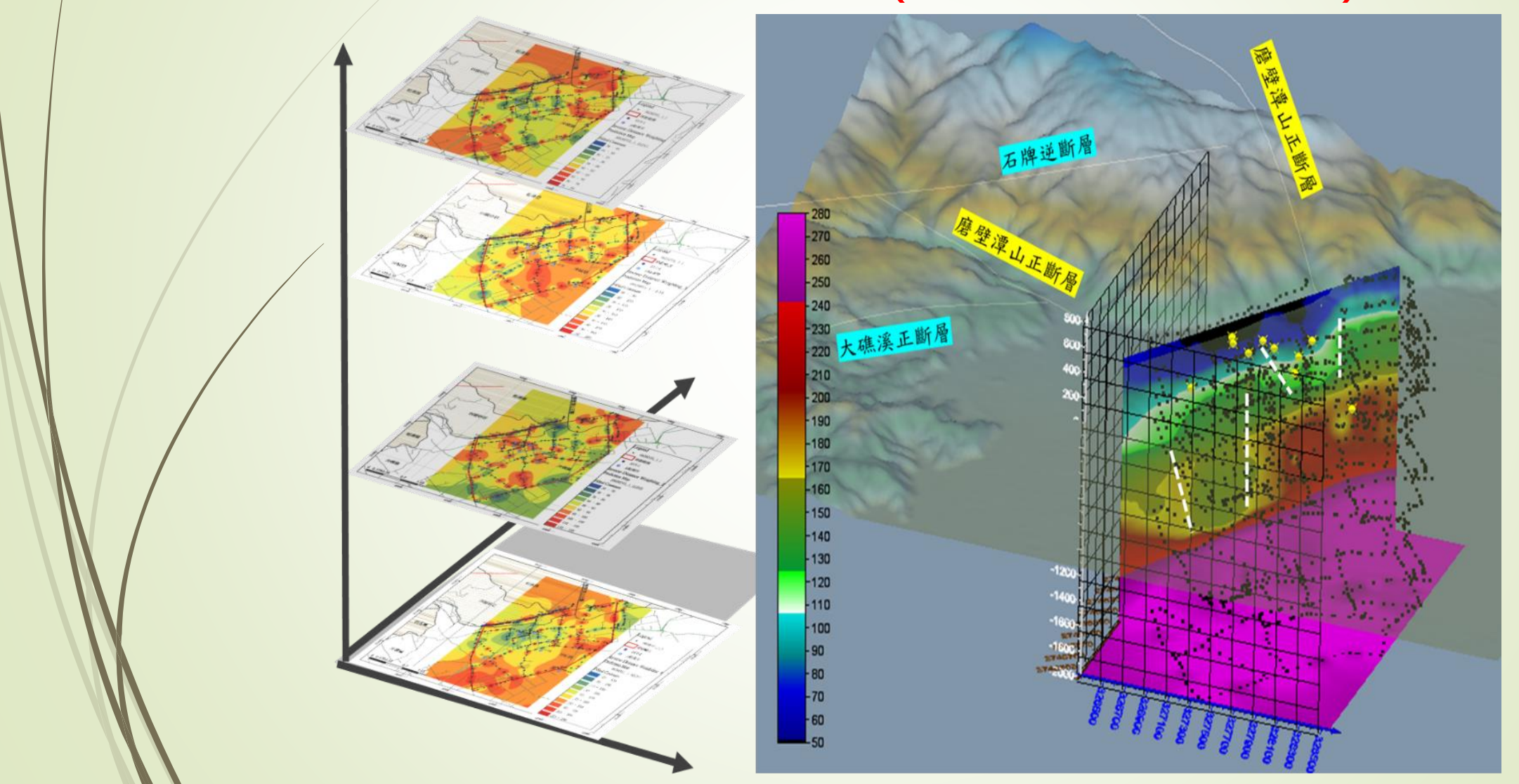
監測日期	106年10月
最小日平均(m)	11.56
最大日平均(m)	12.61





相關係數: 0.89459

地應力的3D分佈(VOXLER功能)



溫度分佈的3D圖 (VOXLER功能)

